

JÄMFÖRELSE MELLAN TRE  
OLIKA METODER FÖR  
REELLTIDSIDENTIFIERING

GERT INGVAR KNUTSSON

Examensarbete vid institutionen  
för Regleringsteknik vid LTH

Ansvarig handledare:  
Johan Weislander

Rapport RE - 86, augusti 1970

TILLHÖR REFERENSBIBLIOTEKET

UTLÄNAS EJ

JÄMFÖRELSE MELLAN TRE OLIKA METODER  
FÖR REELLTIDSIDENTIFIERING

Examensarbete utfört vid Institutionen för  
regleringsteknik, Lunds Tekniska Högskola

GERT INGVAR KNUTSSON

Ansvarig handledare: Johan Wieslander

### SAMMANFATTNING

I denna rapport beskrivs tre metoder för att identifiera parametrarna hos ett linjärt, tidsvariabelt system. Huvuduppgiften har varit att skriva ett modulärt FORTRAN program, som kan anpassas till de tre metoderna och olika modeller genom att man endast behöver göra smärre ändringar i programmet. Det erhållna programmet har sedan använts för testkörning på tre system:

1. Ett första ordningens system
2. Ett andra ordningens system
3. Ett första ordningens olinjärt system

En metod bygger på teorin för Kalmanestimering, en annan på minsta-kvadrat metoden och den tredje på teorin för stokastisk approximation.

## ABSTRACT

This report describes three different methods of identifying a time varying system, least squares with exponential weighting, Kalman fittering, stochastic approximation. A modular FORTRAN-program, which can be adapted to different models with little effort, has been written. The program has been used on three digitally simulated examples. Differences and similarities in the behavior of the three real-time identification algorithms are discussed.

## INNEHÅLLSFÖRTECKNING

	Sida
1. INLEDNING	1a
2. LITTERATURSTUDIE	1b
3. METOD OCH PROBLEMSTÄLLNING	13
4. DATAMASKINPROGRAMMET	16
5. KÖRNINGAR PÅ DATAMAKIN	18
6. SAMMANFATTNING AV RESULTAT	28
APPENDIX A: Referenser	
APPENDIX B: Programutskrifter	
APPENDIX C: Figurer och diagram	

### 1. INLEDNING

Vid många industriella processer är det förenat med stora svårigheter att fastställa det system av differentialekvationer, som beskriver processen. Ofta känner man emeller-tid den generella strukturen hos det system man vill identi-fiera. Problemet är då att exakt kunna bestämma vissa para-metrars numeriska värden.

För att styra processer som varierar med tiden t.ex. genom omgivningens störande inverkan, är det av stor betydelse att kunna identifiera processer i reell tid.

I denna rapport kommer tre metoder för reelltidsiden-ti-fiering av parametrar att anvisas. För att visa hur olika faktorer påverkar metodernas användbarhet, har ett antal testexempel simulerats på datamaskin. De frågeställningar som med dessa exempel vill besvaras, kommer att presenteras först sedan den teori, som ligger till grund för metoderna har beskrivits.

## 2. LITTERATURSTUDIE

I detta kapitel kommer den nödvändiga teorin för identifieringsalgoritmerna kortfattat att behandlas. De olika metoderna har beskrivits i följande litteratur:

J. Wieslander, Reelltidsidentifiering med hjälp av minstakvadrat metoden. Försök på pilotdata. ref.(1),  
 K.J. Åström, Introduction to Stochastic Control Theory. ref.(2),  
 Ya.Z.Tsyplkin, Adaption, Learning and Self-Learning in Control Systems. ref.(3).

Från ref.(2) har hämtats teorin för Kalmanestimering och i ref.(3) beskrivs den stokastiska approximationsmetoden. För ett mera ingående studium hänvisas till respektive referens.

### Reelltidsidentifiering enligt minsta-kvadrat metoden (RTLS) Tidsinvarianta fallet

Betrakta följande systemmodell:

$$y(t) = -a_1 y(t-1) - a_2 y(t-2) - \dots - a_n y(t-n) + \\ + b_1 u(t-1) + b_2 u(t-2) + \dots + b_n u(t-n) + e(t)$$

där  $e(t)$  är mätvärdenas avvikelse från systemmodellen vid tidpunkten  $t$ .

Inför

$$Y = \begin{bmatrix} y(n) \\ y(n+1) \\ \vdots \\ y(N) \end{bmatrix} \quad \emptyset = \begin{bmatrix} -y(n-1) \dots -y(0) & u(n-1) \dots u(0) \\ -y(N-1) \dots -y(N-n) & u(N-1) \dots u(N-n) \end{bmatrix}$$

$$\Theta = (a_1 \dots a_n \ b_1 \dots b_n)^T \text{ och } E = (e(n) \dots e(N))^T$$

Resultatet av mätningarna vid tidpunkterna  $t = 0, 1, \dots, N$  kan beskrivas med matrisekvationen

$$Y = \phi \cdot \theta + E$$

Vi bildar kvadratsumman av avvikelserna  $e(t)$  från tidpunkten  $n$  till  $N$  och skriver den

$$\sum_{t=n}^N e^2(t) = E^T E$$

Det går att visa, att förlustfunktionen

$$V(N) = \sum_{t=n}^N e^2(t)$$

har minimum för parameterskattningen  $\hat{\theta} = (\phi^T \phi)^{-1} \phi^T Y$ . Om man nu tänker sig det fall, då systemmodellens parametrar varierar med tiden, inses att skattningen väsentligen skall bero av de senaste och mest aktuella mätvärdena, medan man bör ta mindre hänsyn till de längre bort i tiden liggande värdena. Detta kan göras genom en modifiering av förlustfunktionen ovan. Inför i stället följande förlustfunktion

$$V(N) = \sum_{t=n}^N \lambda^{t-n} e^2(t) \quad \lambda < 1$$

Detta innebär, att kvadratavvikelserna har viktats med exponentialfunktionen  $\lambda^t$ .

#### Algoritm för reelltidsidentifiering enligt minsta-kvadrat metoden

Vid tidpunkten  $N$  gäller, att skattningen  $\hat{\theta}(N) = (\phi_N^T \phi_N)^{-1} \phi_N^T Y_N$  minimerar förlustfunktionen  $V(N) = E_N^T E_N$ . Vi erhåller en ny mät-punkt vid  $t = N+1$  och vill beräkna skattningen  $\hat{\theta}(N+1)$ . Det är den skattning, som minimerar förlustfunktionen

$$\begin{aligned} V(N+1) &= \sum_{t=n}^{N+1} \lambda^{t-n} e^2(t) = \lambda \sum_{t=n}^N \lambda^{N+1-t} e^2(t) + e^2(N+1) = \\ &= \lambda E_N^T E_N + e^2(N+1) \end{aligned} \tag{2.1}$$

För att bestämma skattningen  $\hat{\theta}(N+1)$  inför vi beteckningarna  
 $y = y(N+1)$  och  $\varphi = (-y(n) \dots -y(N-n+1) \ u(N) \dots u(N-n+1))$   
För tidpunkterna  $t = 0, 1, \dots, N+1$  kan vi nu skriva

$$\begin{bmatrix} \mu Y_N \\ y \end{bmatrix} = \begin{bmatrix} \mu \varphi_N \\ \varphi \end{bmatrix} \Theta + \begin{bmatrix} \mu E_N \\ e(N+1) \end{bmatrix} \quad 0 < \mu < 1$$

Vi har till det tidigare ekvationssystemet, som beskriver förhållanden vid de  $N$  föregående mätningarna, lagt ytterliggare en ekvation samtidigt som de övriga multiplicerats med en faktor  $\mu$ . Om  $\lambda = \mu^2$  fås genom insättning i (2.1)

$$v(N+1) = \lambda E_N^T E_N + e^2(N+1) = \begin{bmatrix} \mu E_N \\ e(N+1) \end{bmatrix}^T \begin{bmatrix} \mu E_N \\ e(N+1) \end{bmatrix}$$

Minsta-kvadrat skattningen erhålls nu som i det tidsinvarianta fallet:

$$\hat{\theta}(N+1) = \left( \begin{bmatrix} \mu \varphi_N \\ \varphi \end{bmatrix}^T \begin{bmatrix} \mu \varphi_N \\ \varphi \end{bmatrix} \right)^{-1} \begin{bmatrix} \mu \varphi_N \\ \varphi \end{bmatrix}^T \begin{bmatrix} \mu Y \\ y \end{bmatrix}$$

Efter en del matrisräkning och förenklingar, vilka beskrives i detalj i ref(1), erhålls den sökta skattningen  $\hat{\theta}(N+1)$ .

$$\hat{\theta}(N+1) = \hat{\theta}(N) + K(N) (y - \rho \hat{\theta}(N))$$

med  $K(N)$  enligt nedan. Införes  $P(N) = \frac{1}{\lambda} (\varphi^T \varphi)^{-1}$  kan vi skriva

$$K(N) = P(N) \varphi^T (1 + \rho P(N) \rho^T)^{-1}$$

Vidare visas i ref (1), hur man kommer fram till en rekursiv formel för beräkning av  $P$ .

#### Sammanfattning av resultaten

Vi utgår från systemmodellen

$$y(t) = -a_1 y(t-1) - \dots - a_n y(t-n) + b_1 u(t-1) + \dots + b_n u(t-n) + e(t)$$

och skriver parametrarna i vektorn  $\Theta = (a_1 \ a_2 \ \dots \ b_n)^T$   
 Vidare införes  $y = y(N+1)$  och  $\varphi = (-y(N) \ -y(N-1) \ \dots \ u(N-n+1))$   
 Den skattning, som vid tidpunkten  $N+1$  minimerar förlustfunktionen

$$V(N+1) = \sum_t \lambda^{t-N-1} e^2(t) \quad \lambda < 1$$

ges av de rekursiva ekvationerna:

$$1. \quad \hat{\Theta}(N+1) = \hat{\Theta}(N) + K(N) (y - \rho \hat{\Theta}(N))$$

$$2. \quad K(N) = P(N) \rho^T (1 + \rho P(N) \rho^T)^{-1} \quad (2.2)$$

$$3. \quad P(N+1) = \frac{1}{\lambda} (P(N) - K(N) \rho P(N)) = \frac{1}{\lambda} (P(N) - K(N)(1 + \rho P(N) \rho^T)K^T(N))$$

I ekvation 1 i (2.2) är  $y$  den verkliga utsignalen från systemet, medan däremot  $\rho \hat{\Theta}(N)$  är den med den aktuella skattningen av systemets parametrar väntade utsignalen. Man ser vidare, att den nya skattningen erhålls ur den gamla genom addition av en term, som beror dels på hur bra den förra skattningen var, dels av en vektor  $K$ , som beror av  $P$ ,

Elementen i  $P$  mäter osäkerheten i parameterskattningen  $\hat{\Theta}$ . Om elementen i  $P$  är små, får man ur ekvationen 2, att elementen i  $K$  också blir små, vilket i sin tur medför att korrektionen blir liten. För skattningar enligt minsta-kvadrat metoden gäller, att de blir noggrannare ju fler mätpunkter, som finns tillgängliga. Ekvationen 3 visar nu, hur reelltidsidentifieringen fungerar. Då  $P$  divideras med  $\lambda < 1$ , får man en motsatt verkan, som försöker att öka osäkerheten, så att de senaste mätvärdena hela tiden kommer att påverka skattningen av  $\hat{\Theta}$ .

### Reelltidsidentifiering enligt Kalman teori (KALID)

Betrakta följande stokastiska system:

$$\begin{cases} x(t+1) = \phi x(t) + v(t) \\ y(t) = \theta x(t) + e(t) \end{cases}$$

Här är  $x$  en  $n$ -dimensionell tillståndsvektor,  $y$  en  $p$ -dimensionell utsignalvektor. Vidare är  $v(t)$  en  $n$ -dimensionell brusvektor med medelvärde noll och kovariansmatrisen  $R_1$  samt  $e(t)$  en  $p$ -dimensionell brusvektor med medelvärde noll och kovariansmatrisen  $R_2$ . Matriserna  $\phi$ ,  $\theta$ ,  $R_1$  och  $R_2$  kan bero av tiden.

Man kan visa, vilket är gjort i ref (2), att skattningen av tillståndsvektorn vid tidpunkten  $t+1$ , baserad på utsignalens värden  $y(0), y(1), \dots, y(t)$ , ges av följande rekursiva ekvationer:

$$1. \hat{x}(t+1) = \phi \hat{x}(t) + K(t)(y(t) - \theta \hat{x}(t))$$

$$2. K(t) = \phi P(t) \theta^T (R_2 + \theta P(t) \theta^T)^{-1}$$

$$3. P(t+1) = \phi P(t) \phi^T + R_1 - \phi P(t) \theta^T (\theta P(t) \theta^T + R_2)^{-1} \theta P(t) \phi^T = \\ = (\phi - K(t) \theta) P(t) \phi^T + R_1$$

Betrakta nu samma systemmodell som tidigare:

$$y(t) = -a_1 y(t-1) - \dots - a_n y(t-n) + b_1 u(t-1) + \dots + b_n u(t-n) + e(t) \quad §$$

eller kortare

$$y(t) = f(t-1) \theta(t) + e(t)$$

Inför modellens parametrar som tillståndsvariabler

$$\begin{array}{ll}
 x_1(t) = a_1 & x_{n+1}(t) = b_1 \\
 x_2(t) = a_2 & x_{n+2}(t) = b_2 \\
 \cdot & \cdot \\
 \cdot & \cdot \\
 x_n(t) = a_n & x_{2n}(t) = b_n
 \end{array}$$

och definiera vektorn  $\theta = (-y(t-1) -y(t-2) \dots u(t-n))$   
 § kan nu skrivas  $y(t) = \theta x(t) + e(t)$  och identifiering enligt  
 minsta-kvadrat metoden kan behandlas som en Kalmanestimering  
 med  $\phi$  lika med enhetsmatrisen och  $R2 = 1$ . De rekursiva ekva-  
 tionerna för beräkning av parameterskattningen ser följaktligen  
 ut:

$$\begin{aligned}
 1. \hat{x}(t+1) &= \hat{x}(t) + K(t)(y(t) - \theta \hat{x}(t)) \\
 2. K(t) &= P(t)\theta^T(1 + \theta P(t)\theta^T)^{-1} \\
 3. P(t+1) &= P(t) - K(t)\theta P(t) + R1
 \end{aligned} \tag{2.3}$$

För att erhålla full överensstämmelse med teorin för minsta-  
 kvadrat metoden bör vektorn, som i denna framställning betecknas  
 $\theta$  kallas  $\rho$  och vektorn  $x$  betecknas med  $\hat{x}$ . De tre ekvationerna  
 i (2.3) får då följande utseende:

$$\begin{aligned}
 1. \hat{\theta}(t+1) &= \hat{\theta}(t) + K(t)(y(t) - \rho(t-1)\hat{\theta}(t)) \\
 2. K(t) &= P(t)\rho^T(t-1)(1 + \rho(t-1)P(t)\rho^T(t-1))^{-1} \\
 3. P(t+1) &= P(t) + R1 - K(t)\rho(t-1)P(t) = \\
 &= P(t) + R1 - K(t)(1 + \rho(t-1)P(t)\rho^T(t-1))K^T(t)
 \end{aligned}$$

Reelltidsidentifiering enligt stokastisk approximationsmetoden (STAPP)

Stokastisk approximation

I åtskilliga problem i modern reglerteknik är det önskvärt att finna en extrempunkt hos en flervariabel funktion som t.ex.

$$I = Q(c_1, c_2, \dots, c_n) = Q(\bar{c}) \quad (2.5)$$

där  $\bar{c} = (c_1, c_2, \dots, c_n)$  är en n-dimensionell vektor.

Låt  $\bar{c} = \bar{c}^*$  vara extrempunkten och antag, att den utgör ett minimum. Existensen och entydigheten för det önskade minimat ges av ganska enkla villkor. Om funktionen  $Q(\bar{c})$  är känd och differentierbar, så kan man finna  $\bar{c} = \bar{c}^*$  genom att lösa ekvationen

$$\nabla Q(\bar{c}) = \bar{0} \quad (2.6)$$

där  $\nabla Q = \left( \frac{\partial Q}{\partial c_1}, \frac{\partial Q}{\partial c_2}, \dots, \frac{\partial Q}{\partial c_n} \right)$  är gradienten till  $Q(\bar{c})$ . För lösning av ekvation (2.6) kommer iterativa metoder till användning. En sådan metod är gradientmetoden, som definieras genom algoritmen:

$$\bar{c}(n) = \bar{c}(n-1) + \gamma(n) \nabla Q(\bar{c}(n-1)) \quad (2.7)$$

där  $\gamma(n)$  bestämmer stegstorleken och kan bero av n.  $\bar{c}(n)$  går mot  $\bar{c}^*$ , när n går mot oändligheten. Det har antagits, att  $\bar{c}^*$  är den enda roten till ekvation (2.6).

I de fall då  $Q(\bar{c})$  är okänd, kan  $\nabla Q(\bar{c})$  approximeras med faktorn:

$$\frac{Q_+(\bar{c}, \alpha) - Q_-(\bar{c}, \alpha)}{2\alpha}$$

där  $\alpha$  är ett positivt tal och

$$Q_{\pm}(\bar{c}, \alpha) = (Q(\bar{c} \pm \alpha e_1), Q(\bar{c} \pm \alpha e_2), \dots, Q(\bar{c} \pm \alpha e_n)) \quad (2.8)$$

$$\text{och } \mathbf{e}_1 = (1, 0, \dots, 0), \mathbf{e}_2 = (0, 1, 0, \dots, 0), \dots, \mathbf{e}_n = (0, 0, \dots, 1) \quad (2.9)$$

Vidare kommer då (2.7) att ersättas med följande differens-ekvation:

$$\tilde{\mathbf{c}}(n) = \tilde{\mathbf{c}}(n-1) + \gamma(n) \left\{ \frac{Q_+(\tilde{\mathbf{c}}(n-1), \alpha(n)) - Q_-(\tilde{\mathbf{c}}(n-1), \alpha(n))}{2\alpha(n)} \right\} \quad (2.10)$$

I denna framställning har antagits, att  $Q(\tilde{\mathbf{c}})$  är en deterministisk funktion. Om emellertid  $Q = Q(\tilde{\mathbf{x}}|\tilde{\mathbf{c}})$  är en stokastisk funktion av  $\tilde{\mathbf{c}}$  och en slumptalsvektor  $\tilde{\mathbf{x}}$  med frekvensfunktionen  $P(x)$ , vore det naturligt att söka extrempunkten för det förväntade värdet av  $Q$ , som kan skrivas:

$$I(\mathbf{c}) = \int_{\tilde{\mathbf{x}}} Q(\tilde{\mathbf{x}}|\tilde{\mathbf{c}}) P(\tilde{\mathbf{x}}) d\tilde{\mathbf{x}} = M_{\mathbf{x}}(Q(\tilde{\mathbf{x}}|\tilde{\mathbf{c}})) \quad (2.11)$$

Ekvationen, som bestämmer  $\tilde{\mathbf{c}}^*$  får då formen:

$$\nabla I(\tilde{\mathbf{c}}) = M_{\mathbf{x}}(\nabla_{\mathbf{c}} Q(\tilde{\mathbf{x}}|\tilde{\mathbf{c}})) = \tilde{\mathbf{0}} \quad (2.12)$$

Lösningen till ekvation (2.12) kan man finna med hjälp av (2.7) och (2.10) endast då  $P(x)$  är känd, så att uttrycket (2.11) kan evalueras. Det finns emellertid åtskilliga fall, då  $P(x)$  är okänd. För att då finna den optimala vektorn  $\tilde{\mathbf{c}}^*$  använder man gradientmetoden på samplingar av  $\nabla_{\mathbf{c}} Q(\tilde{\mathbf{x}}|\tilde{\mathbf{c}})$  hellre än på det förväntade värdet enligt (2.11).

Ekvationen för att finna  $\tilde{\mathbf{c}} = \tilde{\mathbf{c}}^*$ , med stokastisk approximations-teori, ges alltså av

$$\tilde{\mathbf{c}}(n) = \tilde{\mathbf{c}}(n-1) + \gamma(n) \nabla Q(\tilde{\mathbf{x}}(n-1)|\tilde{\mathbf{c}}(n-1)) \quad (2.13)$$

eller om  $Q(\tilde{\mathbf{x}}|\tilde{\mathbf{c}})$  ej är bekant

$$\tilde{\mathbf{c}}(n) = \tilde{\mathbf{c}}(n-1) + \frac{\gamma(n)}{2\alpha(n)} \left\{ Q_+(\tilde{\mathbf{x}}(n-1)|\tilde{\mathbf{c}}(n-1), \alpha(n)) - Q_-(\tilde{\mathbf{x}}(n-1)|\tilde{\mathbf{c}}(n-1), \alpha(n)) \right\} \quad (2.14)$$

För att ekvation (2.13) skall konvergera med sannolikheten 1, dvs  $P(\lim_{n \rightarrow \infty} (\bar{c}(n) - \bar{c}^*(n)) = \bar{0}) = 1$  och i medelkvadrat dvs  $\lim_{n \rightarrow \infty} M(\|\bar{c}(n) - \bar{c}^*(n)\|^2) = 0$  måste vissa restriktioner läggas på Q och  $\hat{f}(n)$ . Bland annat måste stegstorleken  $\gamma$  avta mot noll, då n går mot oändligheten. Hastigheten med vilket detta sker får emellertid inte vara för stor. För närmare detaljer se ref (3) eller ref (4).

#### Användande av stokastisk approximationsteori vid parameteridentifiering

Vi betraktar ett samplat, dynamiskt system, som kan skrivas:

$$x(n) = f(x(n-1), \dots, x(n-l), u(n-1), \dots, u(n-l_1)) \quad (2.15)$$

där f inte är känd. Inför den  $l + l_1$ -dimensionella vektorn:

$$\bar{z} = (x(n-1), \dots, x(n-l), u(n-1), \dots, u(n-l_1)) \quad (2.16)$$

Ekvation (2.15) kan nu skrivas  $x(n) = f(\bar{z})$ , där  $f(\bar{z})$  kan approximeras med uttrycket  $\hat{f}(\bar{z}) = \bar{c}^T \bar{z}$ . Genom att använda stokastisk approximation fås nu skattningen från ekvationerna (2.13) eller (2.14) beroende på förutsättningarna.

Då man har en linjär modell, omformas ekvation (2.15) till

$$x(n) = \sum_{m=1}^l a_m x(n-m) + \sum_{m=1}^{l_1} b_m u(n-m) \quad (2.17)$$

där några av koefficienterna  $a_m$ ,  $b_m$  får vara noll. Genom att införa vektorn

$$\bar{c} = (a_1, \dots, a_l, b_1, \dots, b_{l_1})$$

och använda (2.16) kan den approximerade funktionen  $\hat{f}(\bar{z})$  skrivas som en skalärprodukt

$$\hat{f}(\bar{z}) = \bar{c}^T \bar{z} \quad (2.18)$$

Som ett mått på avvikelsen mellan  $\hat{f}(\bar{z})$  och  $f(\bar{z})$  kan man använda medelvärdet av någon strängt konvex funktion  $F$  med argumentet ( $f(\bar{z}) - \hat{f}(\bar{z})$ ).

Genom lämplig modifiering erhålls av (2.13) och (2.14) följande uttryck på skattningen av  $\bar{c}$ :

$$\bar{c}(n) = \bar{c}(n-1) + \frac{\gamma(n)}{2\alpha(n)} F^*(\bar{x}(n) - \bar{c}^T(n-1)\bar{z}(n)) \bar{z}(n) \quad (2.19)$$

respektive

$$\bar{c}(n) = \bar{c}(n-1) + \frac{\gamma(n)}{2\alpha(n)} \left\{ F_t(\bar{z}(n), \alpha(n)) - F_t(\bar{z}(n-1), \alpha(n)) \right\} \quad (2.20)$$

Om vi antager, att insignalerna är oberoende,  $F$  är en kvadratisk funktion och

$$\gamma(n) = \frac{1}{\|\bar{z}(n)\|^2}$$

så gäller ekvation (2.19).

För att få överensstämmelse med de tidigare beskrivna metoderna antar vi, att systemet kan beskrivas genom modellen:

$$y(t) = \rho(t-1)\theta(t) + e(t)$$

Inför

$$F = -\frac{1}{2}(y(t) - \rho(t-1)\theta(t))^2$$

Härur erhålls

$$F^* = \rho^T(t-1)(y(t) - \rho(t-1)\theta(t))$$

Insättning i ekvation (2.19) ger algoritmen för skattningen av  $\theta$  enligt stokastisk approximation:

$$\hat{\theta}(t) = \hat{\theta}(t-1) + \gamma(t) \rho^T(t-1)(y(t) - \rho(t-1)\theta(t)) \quad (2.21)$$

Vidare bör alltså nämnaren av  $\gamma(t)$  väljas:

$$(\varepsilon + \rho(t-1)\rho^T(t-1))$$

där  $\varepsilon$  är ett litet tal. Härigenom undviks att nämnaren blir noll.

I ref (4) visas att ett lämpligt värde på  $\gamma(t)$ , som uppfyller restriktionerna är  $1/t$ . Om däremot  $\gamma(t)$  väljes konstant =  $\gamma_0$  kommer inte längre algoritmen (2.21) att konvergera. I frånväro av brus kan emellertid följande algoritm användas:

$$\hat{\theta}(t) = \hat{\theta}(t-1) + \gamma_0 \rho^T(t-1)(y(t) - \rho(t-1)\hat{\theta}(t)) \quad (2.22)$$

som konvergerar snabbare än (2.21). Se ref (3).

#### En teoretisk jämförelse mellan de tre algoritmerna

Genom att betrakta algoritmerna (2.2), (2.4) och (2.21) finner man, att dessa uppvisar stora likheter. I själva skattningsekvationen är faktorn

$$y(t) - \rho(t-1)\hat{\theta}(t)$$

som benämnes residualen, gemensam för samtliga. I Kalman- och minsta-kvadrat metoden föregås denna faktor av följande termer

$$P(t)\rho(t-1)(1 + \rho(t-1)P(t)\rho^T(t-1))^{-1}$$

och i fallet med stokastisk approximation är motsvarande termer

$$\gamma(t)\rho(t-1)(\varepsilon + \rho(t-1)\rho^T(t-1))^{-1}$$

Skillnaden utgöres av att man vid identifieringen i de förstnämnda metoderna, utnyttjar informationen i P-matrisen för att erhålla skattningen. Det har visats, att om  $\lambda = 1$  eller  $R_1 = 0$

kommer P-matrisen att gå mot noll som  $1/t$ . Vid tidsinvariant stokastisk approximation bör  $\sqrt{V}(t)$  tilldelas värden motsvarande  $1/t$ .

Man ser, att skillnaden mellan algoritmerna (2.2) och (2.4) finns i P-ekvationen. Verkan av divisionen med lambda i (2.2) och additionen av R1-matrisen i (2.4) är i stort sett lika.

Vidare kan man konstatera, att den stokastiska approximationsmetoden verkar betydligt enklare än de övriga. Detta bör även medföra, att det är den snabbaste av metoderna.

### 3. METOD OCH PROBLEMSTÄLLNING

Den teori, som redogjorts för i föregående kapitel, kommer nu att användas som en grund för de praktiska metoderna, vilka används för att identifiera de okända systemparametrarna. För att testa metoderna har ett antal system simulerats på dator. I detta avsnitt anges de frågeställningar, som vill besvaras med denna rapport och presentation av de simulerade systemen. I ett kommande kapitel behandlas datamaskinprogrammen och tillvägagångssättet för identifieringen.

#### Problemställning

Uppgiften har varit i alla försöken att minimera den aktuella förlustfunktionen, som behandlas närmare nedan, vid de olika betingelser som rått, t.ex. varierande brusstorlek verkande på systemet. Det har alltså gällt att bestämma parameteridentiferingen vid minimum av förlustfunktionen, även om skattningen inte varit den bästa. Hur skall man då finna minimum av förlustfunktionen? I samtliga fall utom ett har det uppnådda resultatet erhållits genom "manuella" variabeländringar. Vidare frågar man sig, hur kommer kovariansmatrisen  $R_1$ , lambda och gamma att förändras vid olika brusförhållanden? En annan fråga av intresse är, huruvida man kan uttala sig om att den ena metoden är bättre än den andra.

#### Metod

Det första steget, när man vill identifiera okända systemparametrar, är att skaffa sig ett antal par av in- och utsignaler. Dessa får sedan styra ett datorprogram, som löser estimeringsekvationerna.

Följande metoder har använts för anskaffande av dessa signalvärden:

1. En sträckvis konstant insignalfunktion har fått styra den process, vi önskar identifiera, varvid utsignalen erhålls i en mot varje insignal svarande samplingspunkt.
  
2. In - och utsignalvärden har funnits stansade på hålkort, varvid ingen generering har varit nödvändig.

3. In - och utsignaler har beräknats genom att explicita uttryck för  $u(t)$  och  $y(t)$  varit givna.

Presentation av testexempel

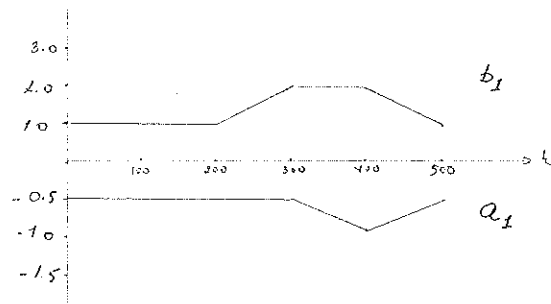
De system, på vilka undersökningarna har utförts, är följande:

Ex.1. Första ordningens system.

I detta försök har använts artificiellt genererade data enligt modellen:

$$y(t) = -a_1 y(t-1) + b_1 u(t-1) + k e(t)$$

där  $e(t)$  är normalfördelade  $N(0,1)$ , insignalen  $u(t)$  en följd av 500 slumpvis utvalda värden, -1 eller +1, och  $k$  har antagit värdena 0.1, 0.3, 0.6 och 1.0. Parametrarna  $a_1$  och  $b_1$  slutligen varierar med tiden enligt figuren nedan:



Ex. 2. Andra ordningens system.

Systemmodell:

$$y(t) = -a_1 y(t-1) -a_2 y(t-2) + b_1 u(t-1) + b_2 u(t-2) + k e(t)$$

I detta exempel har ut - och insignalvärdet lästs in från hålkort. Endast ett värde på  $k$  har använts, nämligen  $k = 1$ . Parametrarnas variation med tiden är obekant.

Ex. 3. Första ordningens, olinjärt system. (Segerståhls exempel)

$$\begin{cases} u(t) = 5(1 + \sin 0.015t) + 0.5 \sin 0.5t \\ y(t) = (a_1 + a_2 \exp(-a_3 u(t) + a_4))u(t) + (b_1 + b_2 (\exp -b_3 u(t) + b_4)) \cdot u(t-1) + 1.225 e(t) \end{cases}$$

med följande parametervärden:

$$\begin{array}{ll} a_1 = 0 & b_1 = 0.5 \\ a_2 = 2.0 & b_2 = 2.0 \\ a_3 = 0.2 & b_3 = 0.15 \\ a_4 = 0.9 & b_4 = 0.7 \end{array}$$

Efter förenkling kan alltså systemmodellen skrivas:

$$y(t) = a u(t) + b u(t-1) + 1.225 e(t)$$

#### 4. DATAMASKINPROGRAMMET

Programmen är skrivna i FORTRAN, och körningarna har skett dels från en terminal i Lund på Uppsalamaskinen CD 3600, dels på den nyinstallerade UNIVAC-datorn i Lund. Övergången från CD:n till UNIVAC-maskinen medförde endast smärre ändringar i programmen, under det att en stor tidsvinst erhölls.

#### Programmens uppbyggnad

Eftersom programmet från början såg ut att bli ganska besvärligt, bestämde jag mig för att dela upp det i tre huvudprogram, var och ett hörande till sin metod, och i subrutiner. Programmet blir då mera flexibelt, dvs det kan användas för många ändamål med små förändringar t.ex. genom att byta ut någon subrutin. En annan fördel är, att man kan testa varje programdel för sig och därigenom lättare finna eventuella fel i programmet. På följande sidor följer en förteckning över använda huvudprogram och subrutiner samt deras funktion.

PROGRAM RTID	Förberedelser och administration
PROGRAM BORIS	av identifieringen
PROGRAM FLEPO	Författare: GI Knutsson
SUBROUTINE INPUT	Inläsning eller generering av in- och utsignaler
SUBROUTINE RTLS	Identifieringsalgoritmerna för de
SUBROUTINE KALID	tre metoderna
SUBROUTINE STAPP	Författare: J Wieslander
SUBROUTINE PLOTS	Används för plottning
SUBROUTINE UPLOTS	
SUBROUTINE PRBN	Genererar PRBS-signaler
	Författare: J Valis
SUBROUTINE RANSS	Genererar normalfördelade slumptal
SUBROUTINE MCNODI	

SUBROUTINE GEPODA

Genererar pseudodata

Författare: J Wieslander

SUBROUTINE GFLPW

Utför minimering enligt

Fletcher-Powells metod

Program FLEPO

Beroende på att programmen till sin uppbyggnad är ganska lika, kommer här endast att närmare granskas FLEPO, vilket är det mest komplicerade. För övrigt hänvisas till programutskrifterna i appendix B.

I huvudprogrammet sker följande:

1. INPUT anropas. Utskrift erhålls av in- och utsignalvärdet, brus och de verkliga värdena på de parametrar, som skall identifieras.
2. Vektorn ALPHA tilldelas begynnelsevärdet, och GFLPW anropas. GFLPW anropar i sin tur F, som är en function subroutine, ett antal gånger tills minimum av förlustfunktionen funnits. Efter ett visst antal iterationer erhålls resultat och utskrift av förlustfunktionens och vektorn ALPHAs värden. Uthopp från GFLPW sker då testvillkoren, som anges av parametrarna i anropet, är uppfyllda.
3. Kovariansmatrisen R2M beräknas ur de slutgiltiga ALPHA-värdena och skrives ut.
4. Av erfarenhet har man funnit det lämpligt, att som startvärdet för P ansätta en diagonalmatris med stora värden (100 - 1000) i diagonalen. Med detta startvärde på P är initialvärdet på parameterskattningen T likgiltigt. Vidare sker bildandet av vektorn FI, som innehåller de senaste mätpunkterna, och dess nollställning.
5. Identifieringen utföres och beräkning av tre olika förlustfunktioner görs. Förlustfunktionernas värden och de identifierade parametrarna skrives ut.

## 5. KÖRNINGAR PÅ DATAMASKIN

### Förlustfunktionerna

Som jämförelsekriterium har i samtliga exempel använts en förlustfunktion  $E_1$ , vilken utgöres av kvadratsumman av residualerna för mätpunkterna. För att minska inverkan av alltför stora residualer i början av identifieringen har nollställning skett efter de 25 första identifieringarna. Residualen utgör skillnaden mellan den verkliga utsignalen och den enligt den aktuella av systemets parametrar förväntade utsignalen.

I KALID - identifieringen införs även en normerad förlustfunktion med beteckningen  $E$  i programutskrifterna. Normeringen består i att  $E_1$  divideras med faktorn  $(1 + \rho P \rho^T)$ .

Ytterliggare en förlustfunktion kommer till användning i exempel 3. Den betecknas med  $V$  och har följande utseende:

$$\sum_{N=26}^{400} \log \text{DENOM} + N(\log(E/N) + 1)$$

DENOM utgöres just av den tidigare nämnda faktorn  $(1 + \rho P \rho^T)$ . Denna förlustfunktion är härledd i ref (5) och utgör likelikoodfunktionen för skattningen av  $R_1$  och  $R_2$ , när mätpunkterna är givna.

Problemet blir nu alltså att minimera den aktuella förlustfunktionen med hjälp av de möjligheter, som står till buds i de tre metoderna. Redan nu kan omtalas, att något minimum aldrig hittats för funktionen  $E$ .

Ex.1. Första ordningens system

Systemet som skall identifieras ges av:

$$y(t) = -a(t) y(t-1) + b u(t-1) + k e(t)$$

där  $e(t) \in N(0,1)$  och parametrarna har utseendet:

$$a(t) = \begin{cases} -0.5 & t \leq 300 \\ -0.5 - 0.0045(t - 300) & 300 < t \leq 400 \\ -0.95 + 0.0045(t - 400) & 400 < t \leq 500 \end{cases}$$

$$b(t) = \begin{cases} 1.0 & t \leq 200 \\ 1.0 + 0.02(t - 200) & 200 < t \leq 300 \\ 3.0 & 300 < t \leq 400 \\ 3.0 - 0.02(t - 400) & 400 < t \leq 500 \end{cases}$$

Exemplet har valts, dels för att det är enkelt, av första ordningen, dels för att det är intressant ur parametersynpunkt. I nedanstående tabell visas, hur parametrarna varierar.

Intervall	a	b
0 - 200	konstant	konstant
201 - 300	konstant	↗
301 - 400	↘	konstant
401 - 500	↗	↘

Reelltidsidentifiering enligt minsta-kvadrat metoden

Identifieringsalgoritmen, som används, ges av (2.2) med variationen av lambda för att erhålla minimum av förlustfunktionen

$$E_1 = \sum_{t=26}^{500} res^2(t)$$

Identifieringen har utförts för fyra olika k, nämligen k = 0.1, 0.3, 0.6 och 1.0. Figurerna 1 och 2 visar resultatet av identifieringen för det minsta och största k-värdet. För små k-värden

visar det sig, att överensstämelsen mellan de identifierade och sanna värdena är god. Med ökande k-värden, vilket medför mer brus på systemet, finner man, att skattningen blir allt sämre och även får svårt att följa parametervariationerna. Diagrammen 1 och 2 visar E1:s beroende av lambda för k = 0.1 och 1.0. Ur dessa ser man, att lambda och förlustfunktionen ökar med stigande k. Då k ökar, blir det svårare att identifiera parametrarna på grund av brusets större inverkan, residu-alen blir större och alltså även förlustfunktionen.

k	$\lambda$	E1
0.1	0.66	9.011
0.3	0.830	59.76
0.6	0.890	214.8
1.0	0.925	568.4

Värden på lambda för minimum av

$$E1 = \sum_{t=6}^{500} \text{res}^2(t) \text{ för olika } k.$$

#### Identifiering med KALID

Vid identifieringen har använts algoritmen (2.4) beskriven i kapitel 2. Matrisen R1 skall nu tilldelas värden, så att E1 minimeras. Hur bör R1 se ut? I allmänhet vet man inte, hur parametrarna varierar. Om så är fallet, har det visat sig, att ett gott val är att sätta  $R1 = r \cdot I$ . I detta exempel har detta val på R1 använts. Man skulle emellertid eventuellt få ett bättre resultat genom ett annorlunda val av kovariansmatrisen. Detta har inte undersökts för detta exempel men ändå för de båda senare. Problemet blir alltså att bestämma värdet på r.

Resultatet av estimeringen för k = 0.1 och 1.0 visas i figurer-na 3 och 4. Av försöket framgår, att för de erhållna r-värdena är metoden känslig för brus, då i synnerhet för de tre högre k-värdena. Däremot följes parametervariationerna tillfredsställande i samtliga fall.

I diagrammen 3 och 4 har förlustfunktionen plottats som funktion av  $r$ .  $E_1$  ökar med stigande  $k$  medan  $r$  avtar.

$k$	$r$	$E_1$
0.1	0.050	8.873
0.3	0.013	72.01
0.6	0.004	282.6
1.0	0.001	781.1

Värden på  $r$  för minimum av

$$E_1 = \sum_{t=26}^{500} r_{es}^2(t) \text{ för olika } k$$

#### Identifiering enligt stokastisk approximation

Algoritmen (2.21) med

$$\hat{\gamma}(t) = \frac{GAM}{GAM + \hat{\rho}(t-1)/\hat{\ell}(t-1)}$$

har använts vid identifieringen och GAM har haft följande utseende:

$$GAM = \begin{cases} 1.0 & t \leq 10 \\ 1.0 - \frac{GAM - GAMZ}{40} (t - 10) & 10 < t \leq 50 \\ GAMZ & t > 50 \end{cases}$$

GAM har ett högt värde i början,  $t \leq 10$ , för att så snabbt som möjligt förmå skattningen att komma i närheten av de sanna värdena. Därefter avtar GAM linjärt mot det konstanta värdet GAMZ, som bibehålls för  $t > 50$ .

Resultatet av identifieringen visas i figurerna 5 och 6. Man lägger märke till att metoden inte verkar så känslig för brus och att den får svårt att följa parametervariationerna vid litet  $\gamma$ . Observera att skalindelningen för parameter  $a_1$  i figur 6 är annorlunda än i de övriga figurerna och kan därför verka missvisande.

I nedanstående tabell visas värden på  $\checkmark$  och  $(E1)_{\min}$  vid varierande brusstorlek.

k	GAMZ	E1
0.1	0.815	13.11
0.3	0.40	69.61
0.6	0.20	249.0
1.0	0.10	628.6

#### Sammanfattning av resultaten

KALID verkar att kunna följa parametervariationerna tillfredsställande, medan de båda övriga tycks ha svårare, åtminstone vid stora störningar. Däremot kan STAPP användas med fördel, då parametrarna inte varierar med tiden, i synnerhet på grund av sin enkelhet. RTLS har givit ett gott resultat, till och med något bättre än KALID, bland annat ur den synpunkten, att den har gett de minsta värdena på förlustfunktionen.

Som jämförelse mellan metoderna kan man även använda nedanstående tabell, som visar förlustfunktionens värde för minpunkten och vid fyra olika k.

k	RTLS	STAPP	KALID
0.1	9.011	13.11	8.873
0.3	59.76	69.61	72.01
0.6	214.8	249.0	282.6
1.0	568.4	628.6	781.1

Ex. 2. Andra ordningens system

I detta exempel ges systemmodellen av:

$$y(t) = -a_1 y(t-1) - a_2 y(t-2) + b_1 u(t-1) + b_2 u(t-2) + e(t)$$

där  $a_1$  och  $a_2$  hålls konstanta medan  $b_1$  och  $b_2$  varierar med tiden och visar sig vara ganska starkt kopplade. Påpekas bör, att detta förhållande inte var känt vid försökets början utan har kommit fram under försökets gång.  $e(t)$  är vitt brus. Ut- och insignal är plottade i figur 7.

Identifiering med STAPP

GAM har haft samma utseende som i exempel 1. Parameterskattningarna kan beskådas i figurerna 8 och 9. Det bekräftas ytterligare i detta försök, vad som tidigare sagts, att STAPP har svårt att hinna med vid snabba förändringar i parametrarna. Förlustfunktionens minvärde är  $E1 = 9749$  och då har GAMZ värdet 0.5.

Identifiering med KALID

Algoritmen för Kalmanestimeringen beskriven i kapitel 2 har använts. Till en början har matrisen  $R1$  valts på formen  $r \cdot I$ . Minimum för  $E1$  ges av  $r = 0.06$  och förlustfunktionens värde 3220. Tilläggas kan, att minimat är flackt. Samma värden som ovan har erhållits för följande värden på  $r$ :  $0.04(0.005)0.08$

Kan man sänka förlustfunktionens värde genom att välja kovariansmatrisens element på annorlunda sätt? Genom att betrakta parameterskattningarna erhållna ovan, kan man dragra slutsatser angående elementen i  $R1$ . Man ser, att  $b_1$  tycks minska hela tiden, samtidigt som  $b_2$  ökar. Vidare verkar  $a_1$  och  $a_2$  vara konstanta. Ett gott försök bör vara att välja negativt tecken på elementen  $r_{34}$  och  $r_{43}$ . Eftersom  $R1$  är symmetrisk, skall de båda elementens numeriska värde även vara lika.

I tabellen på nästa sida visas förlustfunktionens värde för några olika kovariansmatriser.

R1				E1
0.06	0	0	0	
0	0.06	0	0	
0	0	0.06	0	3220
0	0	0	0.06	
0.001	0	0	0	
0	0.001	0	0	
0	0	0.005	0	2450
0	0	0	0	
0.01	0	0	0	
0	0.1	0	0	
0	0	0.1	-0.5	311000
0	0	-0.5	0.01	
0.001	0	0	0	
0	0.001	0	0	
0	0	0.05	-0.025	2200
0	0	-0.025	0.05	
0.0001	0	0	0	
0	0.0001	0	0	
0	0	0.01	-0.01	2751
0	0	-0.01	0.01	

Värden på förlustfunktionen  $E1 = \sum_{t=26}^{500} res^2(t)$  för olika R1

Resultatet av parameteridentifieringen visas i figurerna 10 och 11, varvid följande matris har använts:

$$\begin{bmatrix} 0.001 & 0 & 0 & 0 \\ 0 & 0.001 & 0 & 0 \\ 0 & 0 & 0.05 & -0.025 \\ 0 & 0 & -0.025 & 0.05 \end{bmatrix} \quad (5.1)$$

Förlustfunktionens värde med denna matris blir 2200. Resultatet har förbättrats betydligt med detta val av kovariansmatrisen. Jämför det tidigare värdet på samma förlustfunktion, 3220.

### Identifiering med RTLS

Även i detta exempel uppvisar minsta-kvadrat metoden det minsta värdet på förlustfunktionen E1, 2044, och det inträffar för lambda = 0.795. Parameterskattningarna är plottade i figurerna 12 och 13. Vid en jämförelse med figurerna 10 och 11, som visar skattningarna enligt KALID, finner man att överensstämmelsen är stor.

### Sammanfattnings

Ur försöket framgår klart, att STAPP inte är användbar vid snabba ändringar i parametrarna. Däremot verkar RTLS och KALID att vara tämligen likvärdiga och tycks identifiera parametrarna tillfredsställande. Noteras bör emellertid, att även i detta exempel uppvisar RTLS det minsta värdet på E1.

Av försöket framgår vidare att a priori kunskap om R1-matrisen är av stort värde. Ur tabellen på föregående sida ser man, hur ogynnsamt en felaktig gissning av elementen i kovariansmatrisen inverkar på algoritmen och därmed förlustfunktionen. Har man ingen a priori kunskap om R1, bör man åtminstone till en början använda matriser av formen  $R1 = r \cdot I$ .

I nedanstående tabell visas E1:s värden för de tre metoderna:

Metod	E1
KALID	2201
RTLS	2044
STAPP	9749

Ex.3. Boris Segerståhls exempel

Algoritmen (2.4) har använts på detta exempel, som hämtats från ref (6). Systemet ges av:

$$y(t) = a(t) u(t) + b(t) u(t-1) + 1.225 e(t)$$

där  $e(t)$  är oberoende  $N(0,1)$  slumpalsvariabler och vidare gäller:

$$\begin{cases} a(t) = 2 \exp(-0.2 u(t) + 0.9) \\ b(t) = 0.5 + 2 \exp(-0.15 u(t) + 0.7) \end{cases}$$

Man ser, att parametrarna i detta exempel är ickelinjära funktioner av insignalen.

I detta försök bestämmes matrisen  $R1$  på två sätt, dels som den matris som minimerar förlustfunktionen

$$E1 = \sum_{t=26}^{100} \text{res}^2(t)$$

dels som den matris som minimerar likelihoodfunktionen

$$V = \sum_{N=26}^{100} \log \text{DENOM} + N(\log(E/N) + 1)$$

Minimeringen enligt det första sättet har skett på samma sätt som tidigare, medan för minimering av  $V$  har använts en standard-subrutin baserad på Fletcher - Powells metod för minimering.

I tabellen nedan visas  $E1$ :s värde för några olika  $R1$ .

Plottnings av parameterskattningarna och de verkliga värdena visas i figurerna 14 och 15. Följande  $R1$ -matris har använts vid minimeringen av  $E1$ :

$$R1 = \begin{bmatrix} 0.0060 & 0.0003 \\ 0.0003 & 0.0001 \end{bmatrix} \quad (5.2)$$

Motsvarande skattningar för  $V$  finns i figurerna 16 och 17 med  $R1$ -matrisen:

$$R1 = \begin{bmatrix} 0.00788 & 0. \\ 0. & 0.00022 \end{bmatrix} \quad (5.3)$$

Vid en jämförelse mellan de båda sätten, visar skattningarna stor likhet. Man konstaterar vidare att parameterskattningarna betydligt avviker från de verkliga värdena. Detta kan åtminstone i senare fallet förklaras. För att utnyttja maximum likelihood metoder skall modellen vara linjär och tidsinvariant, vilka förutsättningar inte alls är uppfyllda i det här exemplet.

R1	E1
0.00600	0.00030
0.00030	0.00010
0.00500	0.00030
0.00030	0.00010
0.00400	0.00030
0.00030	0.00020
0.00330	0.00030
0.00030	0.00270
0.00600	0.00300
0.00300	0.00010

Värden på E1 =  $\sum_{t=26}^{200} \text{res}^2(t)$  för olika R1

## 6. SAMMANFATTNING AV RESULTAT

I denna rapport har tre olika metoder för reelltidsidentifiering presenterats och genom ett antal exempel jämförts under lika omständigheter. Ett genomgående drag för metoderna har varit motsättningen mellan ökänslighet för mätbrus och förmåga att följa snabba parametervariationer. Minsta-kvadrat metoden har i dessa exempel visat sig vara något bättre än Kalmanestimeringen. Båda metoderna har också visat sig funktionsdugliga och har på ett tillfredsställande sätt utfört identifieringen. Den stokastiska approximationsmetoden har emellertid uppenbara svårigheter att följa snabba parametervariationer. Metoden har dock en stor fördel i sin enkelhet och därmed snabba arbetsätt.

## APPENDIX A

### REFERENSER

- (1) J. Wieslander: Reelltidsidentifiering med hjälp av minsta-kvadrat metoden, Försök på pilotdata, Rapport 6810 december 68, Lunds tekniska högskola, Institutionen för reglerteknik.
- (2) K.J. Åström: Introduction to Stochastic Control Theory, Academic Press, 1970.
- (3) Ya.Z. Tsypkin: Adaption, Learning and Self-Learning in Control Systems, Survey Paper, IFAC, London, 1966.
- (4) D.J. Wilde: Optimum Seeking Methods, Prentice Hall, Englewood, Cliffs., N.J., 1964.
- (5) T. Bohlin: Real-Time Estimation of Time-Variabe Process Characteristics, TP 18.190, IBM Nordic Laboratory, Lidingö, Sweden.
- (6) B. Segerståhl: A Theory of Parameter Tracking Applied to Slowly Varying Nonlinear Systems, Technical Session 5, IFAC, Warsaw, 1969.

APPENDIX B  
PROGRAMUTSKRIFTER

STAPP använd på exempel 1	B 1
RTLS använd på exempel 2	B 3
KALID använd på exempel 3	B 6
SUBROUTINE KALID	B 11
SUBROUTINE RTLS	B 12
SUBROUTINE STAPP	B 13

FTNS,58

23/02-70

```

PROGRAM RTID
DIMENSION T(10),FI(30),U(2000),Y(2000),A(500),B(500)
NP01=500
NMAX=4
CALL INPUT(U,Y,NP01)
READ 205,NX
NN=2
DO 50 IT=1,NX
READ 210,GAMZ
DO 5 I=1,NN
T(I)=0.
5 FI(I)=0.
GAM=1.
RIKT=(GAM-GAMZ)/40.
E1=0.
J=0
Y1=0.
U1=0.
PRINT 215
DO 40 I=1,NP01
IF(50-I) 30,20,20
20 IF(10-I) 25,30,30
25 GAM=GAM+RIKT
30 CONTINUE
FI(1)=-Y1
FI(2)=U1
Y1=Y(1)
U1=U(1)
CALL STAPP(T,FI,Y1,NN,NMAX,GAM,RES)
A(I)=T(1)
B(I)=T(2)
E1=E1+RES*RES
IF (1.E0,25) E1=0.
J=J+1
IF (J=10) 40,35,35
35 J=0
PRINT 220,I,RES,E1,A(I),B(I),GAM
40 CONTINUE
50 CONTINUE
CALL EXIT
205 FORMAT(I10)
210 FORMAT(F10.5)
215 FORMAT(1H1,*TIME*,10X,3HRES,12X,2HE1,14X,2HA1,13X,2HB1,13X,3HGAM,/
* /)
220 FORMAT(15*2E15,3*3F15.3)
END

```

FTNS.5B

23/02-70

```

SUBROUTINE INPUT(U,Y,NPOI)
DIMENSION FI(30),PAR(30),U(2000),Y(2000),IRE(256)
N=1
NPAR=3*N
READ 101, (PAR(I), I=1,NPAR)
JBY=100
J=0
NPG=1
DO 1 I=1,NPAR
1  IF(I)=0,
IA=256
LENGTH=127
AMP=1,
IPR=1
CALL PRBN(LENGTH,IRE,IA)
IRAN=3249
NPOI=500
PRINT 100
DO 50 L=1,NPOI
J=J+1
CALL RANSS(IRAN,E)
E=1.0*E
U(L)=PRB(IPR,IRE,LENGTH,AMP,IA)
IF (J=JBY) 35,30,30
30 J=0
NPG=NPG+1
35 GO TO (40,40+36+37+38)+NPG
36 PAR(2)=PAR(2)+0.02
GO TO 40
37 PAR(1)=PAR(1)-0.0045
GO TO 40
38 PAR(2)=PAR(2)-0.02
PAR(1)=PAR(1)+0.0045
40 CALL GEPODA(PAR,FI,N,Y(L),E,U(L))
50 PRINT 111,L,PAR(1),PAR(2),U(L),Y(L)
RETURN
100 FORMAT(* TTME      A=PAR      B=PAR      INPUT      OUTPUT*,//)
101 FORMAT(8F10.4)
111 FORMAT(14,1X,4F10.3)
END
REMIND,69
LGOEDIT

```

EXECUTION STARTED AT 1935 -44

## STORAGE ASSIGNMENT FOR VARIABLES (BLOCK, TYPE, RELATIVE LOCATION, NAME)

0000	004195	103F	0000	004157	104F	0000	004163	105F	0000	004205	106F
0001	000053	123G	0004	000061	131G	0001	000062	134G	0001	000103	150G
0001	000173	202G	0004	000177	30L	0000	R 004147	E1	0000	R 00012	FI
0000	1 004144	G	0000	4 004141	JPKT	0000	I 004151	K1	0000	I 004140	K1
0000	Y 004124	H	0000	4 004150	N	0000	I 004137	NN	0000	I 004136	NPAR
0000	Z 004135	N1	0000	R 000050	P	0000	R 004153	RES	0000	R 004142	RL
0000	R 000214	G	0000	R 004145	U1	0000	R 002164	Y1	0000	R 004146	Y1

```

DIMENSION T(10),FI(30),P(10,10),U(1000),Y(1000)
NPOL=500
CALL INPUT(C,Y,NPOLE)
M1=2
JPARE=2*N1
NNE2*N1
DO 50 K1=1,40
JPAT=10
READ 105,RL
PRINT 104,RL
DO 5 I=1,NN
T(I)=0.0
IF(I)=0.0
DO 15 I=1,NAY
DO 10 J=1,NAY
P(I,J)=0.0
15 P(I,J)=1.00
10 P(I,J)=0.0
U1=0.0
Y1=0.0
E1=0.0
PRINT 105
DO 30 N=1,NPOLE
K1,PAR+1
DO 20 L=2,NPAR

```

```

00156      25*      K=N-1
00157      26*      F1(K)=F1(K-1)
00158      27*      F1(1)=-Y1
00159      28*      F1(N+1)=U1
00160      29*      Y1=Y(N)
00161      30*      U1=U(N)
00162      31*      CALL RTLS(T,P,F1,Y1,N,N,10,RL,RFS)
00163      32*      E1=E1+RES*RLS
00164      33*      IF (N.EQ.25) E1=0.0
00165      34*      IF (N-JPKT) J0=25,26
00166      35*      JPKT=JPKT+1
00167      36*      PRINT 106,N,RES*E1,(T(M),M=1,N)
00168      37*      CONTINUE
00169      38*      30 CONTINUE
00170      39*      103 FORMAT(F10.0)
00171      40*      104 FORMAT(1H1*10A,3HRL=F10.5)
00172      41*      105 FORMAT(1H0*0X,92H TIME
00173      42*      *          12
00174      43*      106 FORMAT(6X*20,2E15.3*4F15.4)      T5
00175      44*      END
00176      45*      END
00177      46*      END OF UNIVAC 1108 FORTRAN V COMPIRATION.      0 *DIAGNOSTIC* MESSAGE(S)
00178      47*      PHASE 1 TIME = 0 SEC.
00179      48*      PHASE 2 TIME = 1 SEC.
00180      49*      PHASE 3 TIME = 0 SEC.
00181      50*      PHASE 4 TIME = 0 SEC.
00182      51*      PHASE 5 TIME = 0 SEC.
00183      52*      PHASE 6 TIME = 0 SEC.
TOTAL COMPIRATION TIME = 1 SEC

```

0005 N102S  
0006 NERR3S

## STORAGE ASSIGNMENT FOR VARIABLES (BLOCK, TYPE, RELATIVE LOCATION, NAME)

0000 000001 101F 0004 000012 1076 0000 I 0000000 I 0000 000004 INJP\$

```
00104      1*  
00103      2*  
00104      3*  
00105 *DIAGNOSTIC*  
00105 *DIAGNOSTIC*  
00105 4*  
00105 5*  
00104 6*  
00115 7*  
  
SUBROUTINE INPUT(U,Y,NPOI)  
DIMENSION U(500),Y(500)  
NPOI=500  
POSSIBLE REDUNDANT LOADING OF U.  
POSSIBLE REDUNDANT LOADING OF Y.  
READ 101,((U(I),Y(I)),I=1,500)  
RETURN  
101 FORMAT(10F8.3)  
END
```

```
END OF UNIVAC 1108 FORTRAN V COMPILATION. 2 *DIAGNOSTIC* MESSAGE(S)  
PHASE 1 TIME = 0 SEC.  
PHASE 2 TIME = 0 SEC.  
PHASE 3 TIME = 0 SEC.  
PHASE 4 TIME = 0 SEC.  
PHASE 5 TIME = 1 SEC.  
PHASE 6 TIME = 0 SEC.
```

TOTAL COMPIRATION TIME = 1 SEC

```

0005 GFLPW
0006 KALID
0007 NEXP6$ 
0010 NPRT$ 
0011 NI02$ 
0012 NI01$ 
0013 ALOG
0014 NSTOP$ 

```

## STORAGE ASSIGNMENT FOR VARIABLES (BLOCK, TYPE, RELATIVE LOCATION, NAME)

	BLOCK	TYPE	RELATIVE LOCATION	NAME
0001	000112	I	3116	0001
0001	000155	I	1666	0001
0000	000407	F	303F	0000
0000	R 000404	DENOM	0000 R	000370 DUMMY
0000	R 000161	FI	0000 I	000372 I
0000	I 000401	L	0000 I	000406 M
0000	I 000365	NPAR	0000 I	000363 NPOI
0000	R 000000	R2M	0000 R	000147 T
0002	R 000310	Y	0002 R	000000 U
			0000 R	000402 Y1
000112	9*			
00113	10*			
00114	11*			
00115	12*			
00116	13*			
00117	14*			
00120	15*			
00121	16*			
00122	17*			
00123	18*			
00124	19*			

```

1*
2*
3*
4*
5*
6*
7*
N1=1
NPAR=2*N1
NN=2*N1
ALPHA(1)=-3.0
ALPHA(2)=-3.0
ALPHA(3)=-7.0
NSEC=180
CALL GFLPW(F,DUMMY,ALPHA,3,1.0E-6,-1.0E+6,1.0E-3,2453,MSEC)
JPKT=10
R2M(1,1)=10.**ALPHA(1)
R2M(2,2)=10.**ALPHA(2)
R2M(1,2)=10.**ALPHA(3)
R2M(2,1)=R2M(1,2)

00101
00103
00104
00105
00106
00107
00110
00111
00112
00113
00114
00115
00116
00117
00120
00121
00122
00123
00124

```

```

00125      PRINT 303
00127      PRINT 304, ((R2M(I,J), J=1,NN), I=1,NN)
00140      DO 5 I=1,NN
00143      T(I)=0.0
00144      24*   25*   26*   27*   28*   29*
00146      0.0   0.0   0.0   0.0   0.0   0.0
00151      0.0   0.0   0.0   0.0   0.0   0.0
00154      0.0   0.0   0.0   0.0   0.0   0.0
00156      P(I,I)=100.
00160      E1=0.0
00161      E=0.
00162      VI=0.
00163      PRINT 308
00165      DO 30 N=1,NPOI
00170      K=NPAR+1
00171      DO 20 L=2,NPAR
00174      K=K-1
00175      FI(K)=FI(K-1)
00177      FI(1)=U(N)
00200      Y1=Y(N)
00201      CALL KALID(T,P,FI,Y1,NN,10,R2M,RES,DENOM)
00202      E1=E1+RES*RES
00203      EEE+RES*RES/DENOM
00204      VI=ALOG(DENOM)+VI
00205      V=VI+N*( ALOG(E/N)+1.0 )
00206      IF (N-25)24,23,24
00211      23   E1=0.
00212      47*   E=0.
00213      48*   V=0.
00214      49*   24   IF (N-JPKT) 30,25,25
00217      50*   25   JPKT=JPKT+10
00220      51*   PRINT 309, N,E,E1,Y(T(M),M=1,NN)
00232      52*   30   CONTINUE
00234      53*   STOP
00235      54*   303  FORMAT(1H1,10X,43HR2M IS COVARIANCE MATRIX OF PARAMETER NOISE, //)
00236      55*   304  FORMAT(11X,2F10.5,'')
00237      56*   306  FORMAT(1H0,6X,77HTIME
00237      57*   *           T1                   E
00240      58*   309  FORMAT(6X,15,3E15.6,2F15.4)
00241      59*   END

```

```

END OF UNIVAC 1108 FORTRAN V COMPILATION. 0 *DIAGNOSTIC* MESSAGE(S)

PHASE 1 TIME = 1 SEC.
PHASE 2 TIME = 0 SEC.
.....

```

0005 N102\$  
 0006 SIN  
 0007 EXP  
 0008 N101\$  
 0010 NERR3\$  
 0011

STORAGE ASSIGNMENT FOR VARIABLES (BLOCK, TYPE, RELATIVE LOCATION, NAME)

0000	001133	100F	0000	001153	102F	0001	000075	1226
0000	R 000310	A	0000	R 000620	E	0000	I 001131	I
0000	I 001130	IRAN	0000	R 001132	RND	0000	I 001131	I

```

00101   1*          SUBROUTINE INPUT(U,Y,NPOI)
00103   2*          DIMENSION U(200),Y(200),E(200),A(200),R(200)
00104   3*          NPOI=200
00105   4*          PRINT 100
00107   5*          IRAN=19
00110   6*          DO 10 I=1,NPOI
00113   7*          CALL MCNODI(IRAN,RND)
00114   8*          E(I)=1.225*RND
00115   9*          10  CONTINUE
00117  10*          U(1)=5.*((1.+SIN(0.015))+0.5*SIN(0.5))
00120  11*          Y(1)=2.*EXP(0.9-0.2*U(1))*U(1)+E(1)
00121  12*          DO 50 I=2,NPOI
00124  13*          U(I)=5.*((1.+SIN(0.015*I))+0.5*SIN(0.5*I))
00125  14*          Y(I)=2.*EXP(0.9-0.2*U(I))*U(I)+E(I)+*(E(I)
00125  15*          A(I)=2.*EXP(0.9-0.2*U(I))
00127  16*          B(I)=0.5+2.*EXP(0.7-0.15*U(I))
00130  17*          50  CONTINUE
00132  18*          PRINT 102,(I,U(I),Y(I),E(I),A(I),B(I),I=1,200)
00145  19*          RETURN
00146  20*          100 FORMAT(1H1,5X,79HTIME
00146  21*          *          INPUT
00146  22*          *          OUTPUT
00147  23*          102 FORMAT(5X,I5,A,5F15.4)
00150  24*          END

```

```

END OF UNIVAC 1108 FORTRAN V COMPILATION. 0 *DIAGNOSTIC* MESSAGE(S)
PHASE 1 TIME = 1 SEC.
PHASE 2 TIME = 0 SEC.
NR 493

```

0004 NEXP2\$  
 0005 ALOG  
 0006 NERR3\$  
  
 0001 000026 1116  
 0001 000173 30L  
 0000 R 000013 FI  
 0000 I 000373 L  
 0000 R 000051 P  
 0000 R 000377 V

STORAGE ASSIGNMENT FOR VARIABLES (BLOCK, TYPE, RELATIVE LOCATION, NAME)

0001	000026	1116	0001	000034	117G	0001	000035	122G	0001	000100	140G
0001	000173	30L	0000	R	000376 DENOM	0000	R	000367 E	0000	R	000366 E1
0000	R	000013 FI	0000	I	000364 I	0000	I	000365 J	0000	I	000365 J
0000	I	000373 L	0000	I	000371 N	0000	I	000363 NN	0000	I	000362 NPAR
0000	R	000051 P	0000	R	000375 RES	0000	R	000215 R1M	0000	R	000001 T
0000	R	000377 V	0000	R	000370 VI	0002	R	000310 Y	0000	R	000374 Y1

```

1* FUNCTION F(ALPHA,NARG)
2* DIMENSION T(10)*FI(30),P(10,10),R1M(10,10),ALPHA(3)
3* COMMON U(200),Y(200)
4* NPOI=200
5* NPAR=2
6* NNE=2
7* DO 5 I=1,NN
8* T(I)=0.0
9* FI(I)=0.0
10* DO 15 I=1,NN
11* DO 10 J=1,NN
12* P(I,J)=0.0
13* 15 P(I,I)=100.
14* E1=0.0
15* E=0.
V1=0.
16* R1M(I,1)=10**ALPHA(1)
17* R1M(2,2)=10**ALPHA(2)
18* R1M(1,2)=10**ALPHA(3)
19* R1M(2,1)=R1M(1,2)
20* DO 30 N=1,NPOI
21* K=NPAR+1
22* DO 20 L=2,NPAR
23* K=K-1
24* 20 FI(K)=FI(K-1)
25* FI(1)=U(N)
26* Y1=Y(N)
27* CALL KALID(T,P,FI,Y1,NN,10,R1M,RES,DENOM)
28*

```

```

00154      29*          E1=E1+RES*RES
00155      30*          E=E+RES*RES/DENOM
00156      31*          VI=ALOG(DENOM)+VI
00157      32*          V=VI+N*(ALOG(E/N)+1.)
00158      33*          IF (N-25)30,23,30
00159      34*          23 E1=0.
00160      35*          E=0.
00161      36*          V=0.
00162      37*          CONTINUE
00163      38*          F=V
00164      39*          RETURN
00165      40*          END

END OF UNIVAC 1108 FORTRAN V COMPILATION. 0 *DIAGNOSTIC* MESSAGE(S)
PHASE 1 TIME = 0 SEC.
PHASE 2 TIME = 0 SEC.
PHASE 3 TIME = 1 SEC.
PHASE 4 TIME = 0 SEC.
PHASE 5 TIME = 0 SEC.
PHASE 6 TIME = 0 SEC.

TOTAL COMPILE TIME = 1 SEC

```

```

SUBROUTINE KALID(T,P,FI,NN,NMAX,R1M,RES,DENOM)
C REAL-TIME IDENTIFICATION USING KALMAN THEORY. SUBROUTINE UP-
C DATES ARGUMENTS T,P,RES AND DENOM.
C REFERENCE NONE
C AUTHOR JOHAN WIESLANDER 21/08 1969
C T IS VECTOR CONTAINING ESTIMATED SYSTEM PARAMETERS. FI CON-
C TAINS OLD INPUT AND OUTPUT VALUES. FI SHOULD BE UPDATED OUT-
C SIDE THE ROUTINE.
C P IS COVARIANCE MATRIX OF THE A-POSTERIORI ESTIMATION ERROR.
C Y IS LAST OUTPUT FROM THE SYSTEM.
C NN IS NUMBERS OF PARAMETERS.
C NMAX IS DIMENSION PARAMETER. MAX = 10.
C R1M IS COVARIANCE MATRIX OF PARAMETER NOISE.
C R1M IS ASSUMED TO BE SYMMETRIC.
C RES IS THE RESIDUAL.
C DENOM IS THE FACTOR 1 + FI*P*FIT.
C SUBROUTINES REQUIRED NONE.

      DIMENSION T(NMAX), P(NMAX,NMAX), FI(NMAX), R1M(NMAX,NMAX), RK(11)

      N = NN
      DO 5 I = 1,N
      SL = 0.
      DO 4 J = 1,N
4     SL = SL + P(I,J)*FI(J)
      5   RK(I) = SL
      SL = 1.
      DO 10 I = 1,N
10    SL = SL + FI(I)*RK(I)
      DENOM = SL
      DO 15 I = 1,N
15    RK(I) = RK(I)/SL
      DO 20 I = 1,N
      DO 20 J = 1,N
      P(I,J) = P(I,J) - RK(I)*RK(J)*SL + R1M(I,J)
20    P(J,I) = P(I,J)
      DO 30 J = 1,N
30    SL = SL - FI(J)*T(J)
      DO 35 J = 1,N
35    T(J) = T(J) + RK(J)*SL
      RES = SL
      RETURN
      END

```

```

SUBROUTINE RTLS(T,P,FI,Y,NN,NMAX,RL,RES)
C SUBROUTINE UPDATES ARGUMENTS T, P AND RES
C T IS VECTOR CONTAINING ESTIMATED SYSTEMPARAMETERS
C P CORRESPONDS TO THE INVERSE OF THE INF. MATRIX
C FI CONTAINS OLD INPUT AND OUTPUT VALUES FI SHOULD BE UPDATED
C OUTSIDE THE ROUTINE
C Y IS LAST OUTPUT FROM THE SYSTEM
C NN IS NUMBERS OF PARAMETERS
C RL IS THE BASE OF THE EXPONENTIAL WEIGHTING FUNCTION
C AUTHOR JOHAN WIESLANDER
C SUBROUTINES REQUIRED NONE
DIMENSION T(NMAX), P(NMAX,NMAX), FI(NMAX), RK(10), S(10)
N = NN
DO 5 I = 1,N
  SL = 0.
  DO 10 J = 1,N
    10 SL = SL + P(I,J)*FI(J)
    RK(I) = SL
    5 S(I) = SL
    SL = 1.
    DO 15 I = 1,N
      15 SL = SL + FI(I)*RK(I)
      SK = Y
      DO 25 I = 1,N
        RK(I) = RK(I)/SL
        DO 20 J = 1,I
          P(I,J) = ( P(I,J) - RK(I)*S(J) )/RL
        20 P(J,I) = P(I,J)
        25 SK = SK - FI(I)*T(I)
        DO 35 I= 1,N
        35 T(I) = T(I) + RK(I)*SK
      RES = SK
      RETURN
END

```

```
SUBROUTINE STAPP(T,FI,Y,N,NMAX,GAM,RES)
  DIMENSION T(NMAX), FI(NMAX)
  SK = GAM
  SL = Y
  DO 5 I = 1,N
    SK = SK + FI(I)*FI(I)
  5 SL = SL - FI(I)*T(I)
  DO 10 I = 1,N
10 T(I) = T(I) + FI(I)*GAM*SL/SK
  RES = SL
  RETURN
  END
```

APPENDIX C  
FIGURER OCH DIAGRAM

C 1.

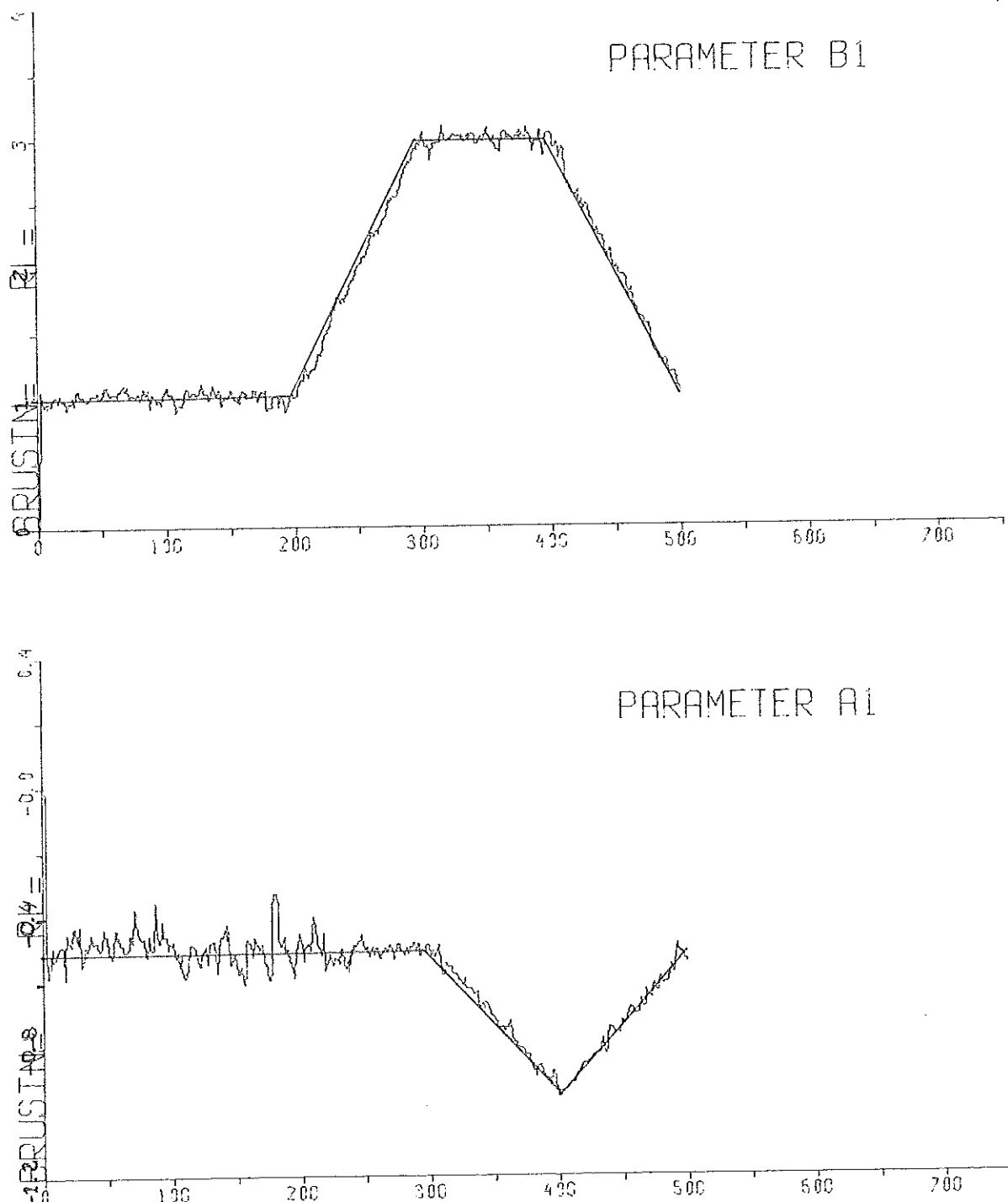


Fig.1 Reelltidsidentifiering enligt minsta-kvadrat metoden  $k = 0.1$

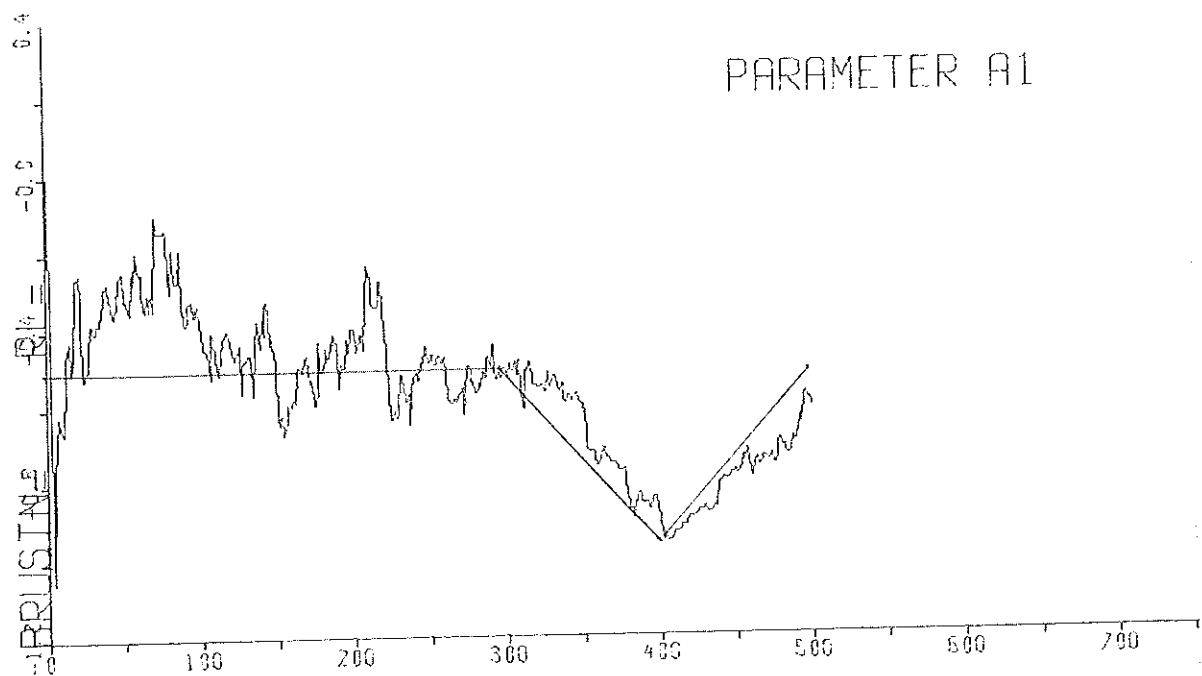
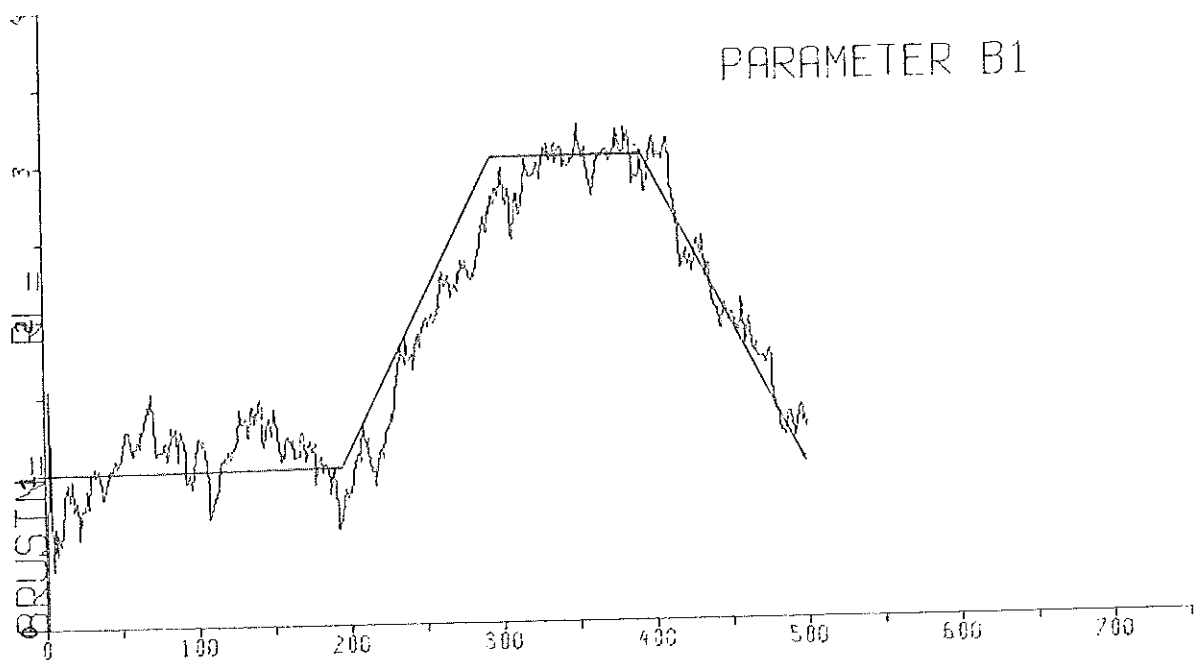


Fig.2 Reelltidsidentifiering enligt minsta-kvadrat  
metoden med  $k = 1.0$

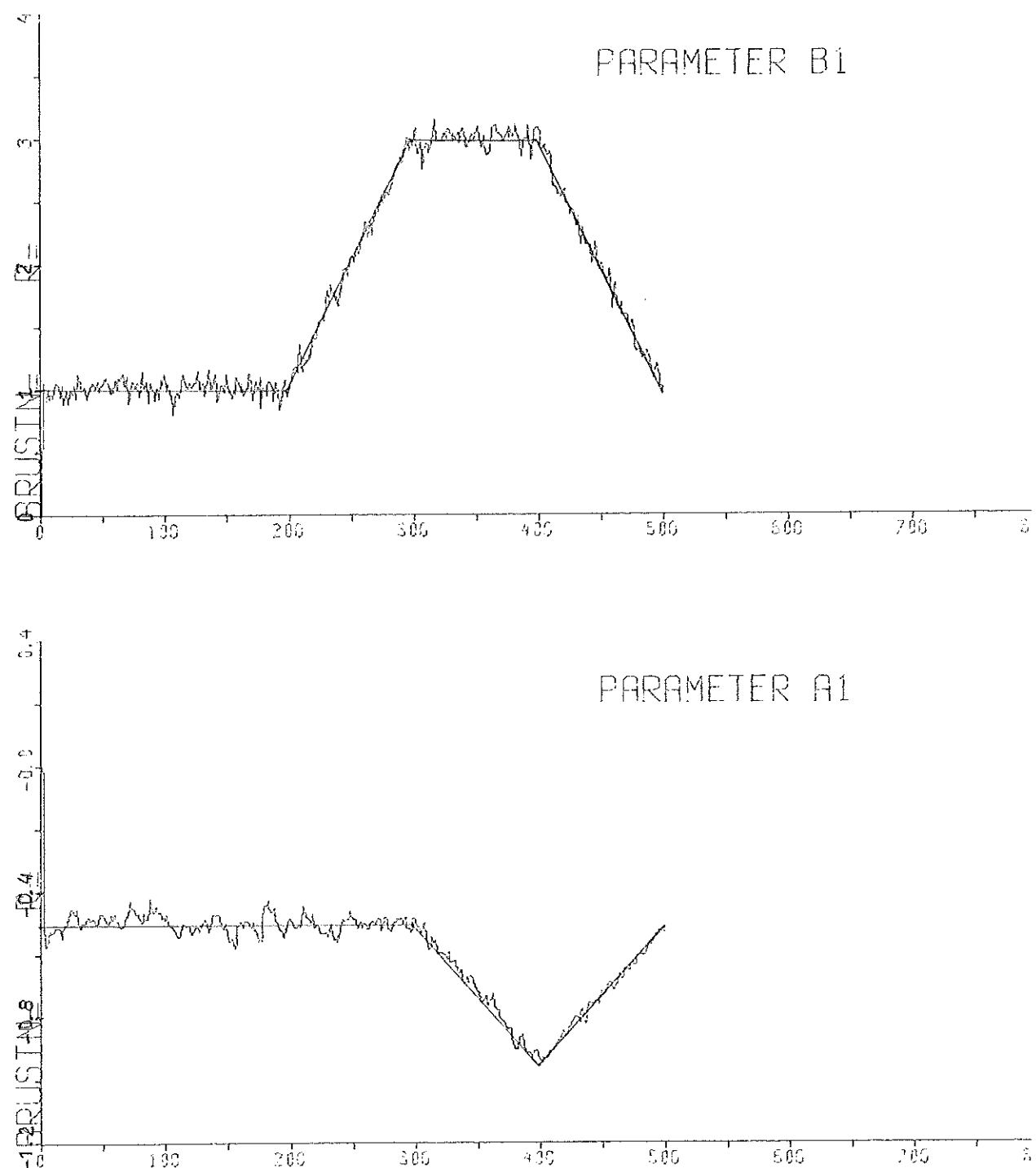


Fig. 3 Reelltidsidentifiering enligt KALID  
för  $k = 0.1$

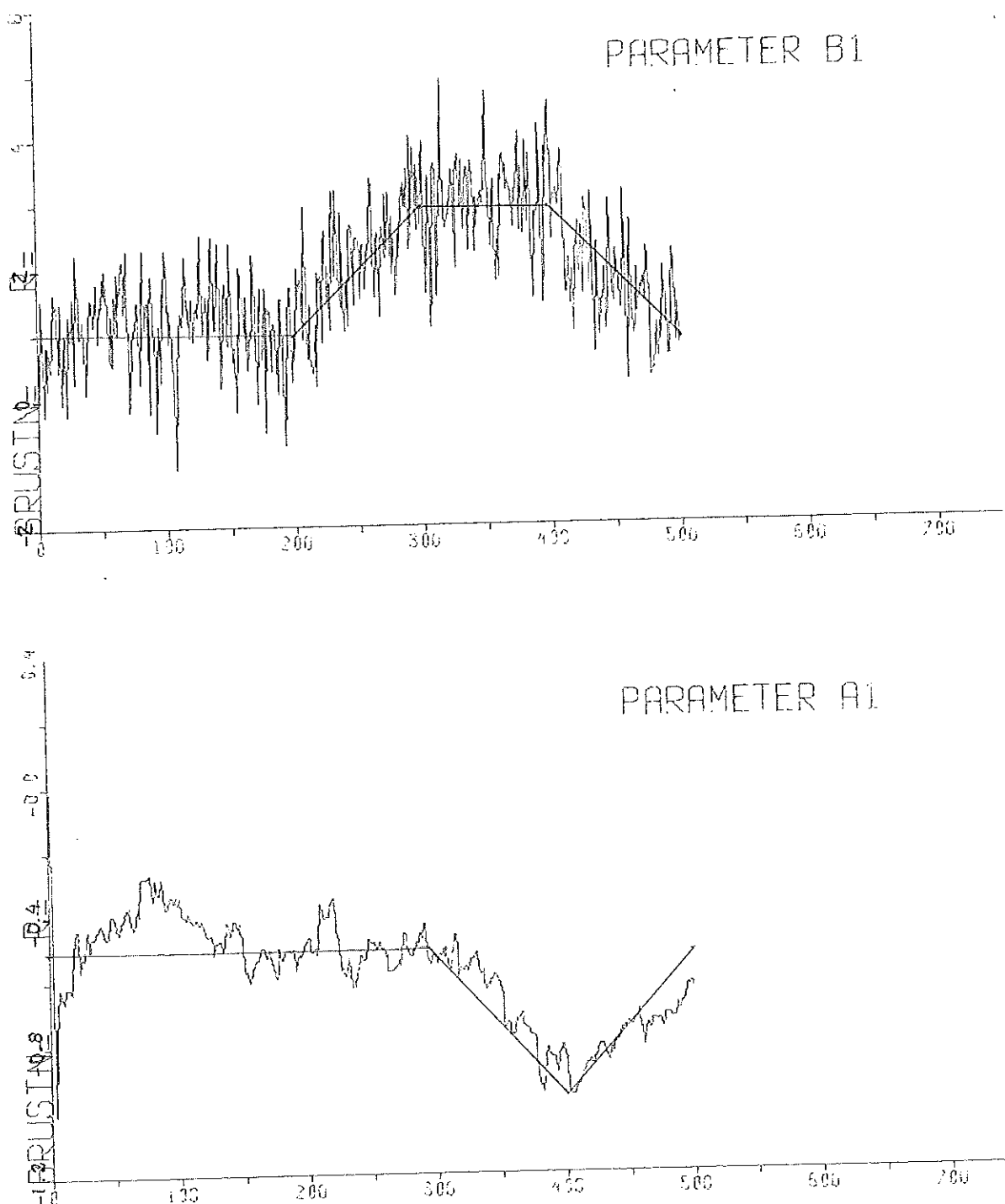


Fig. 4 Reelltidsidentifiering enligt KALID  
med  $k = 1.0$

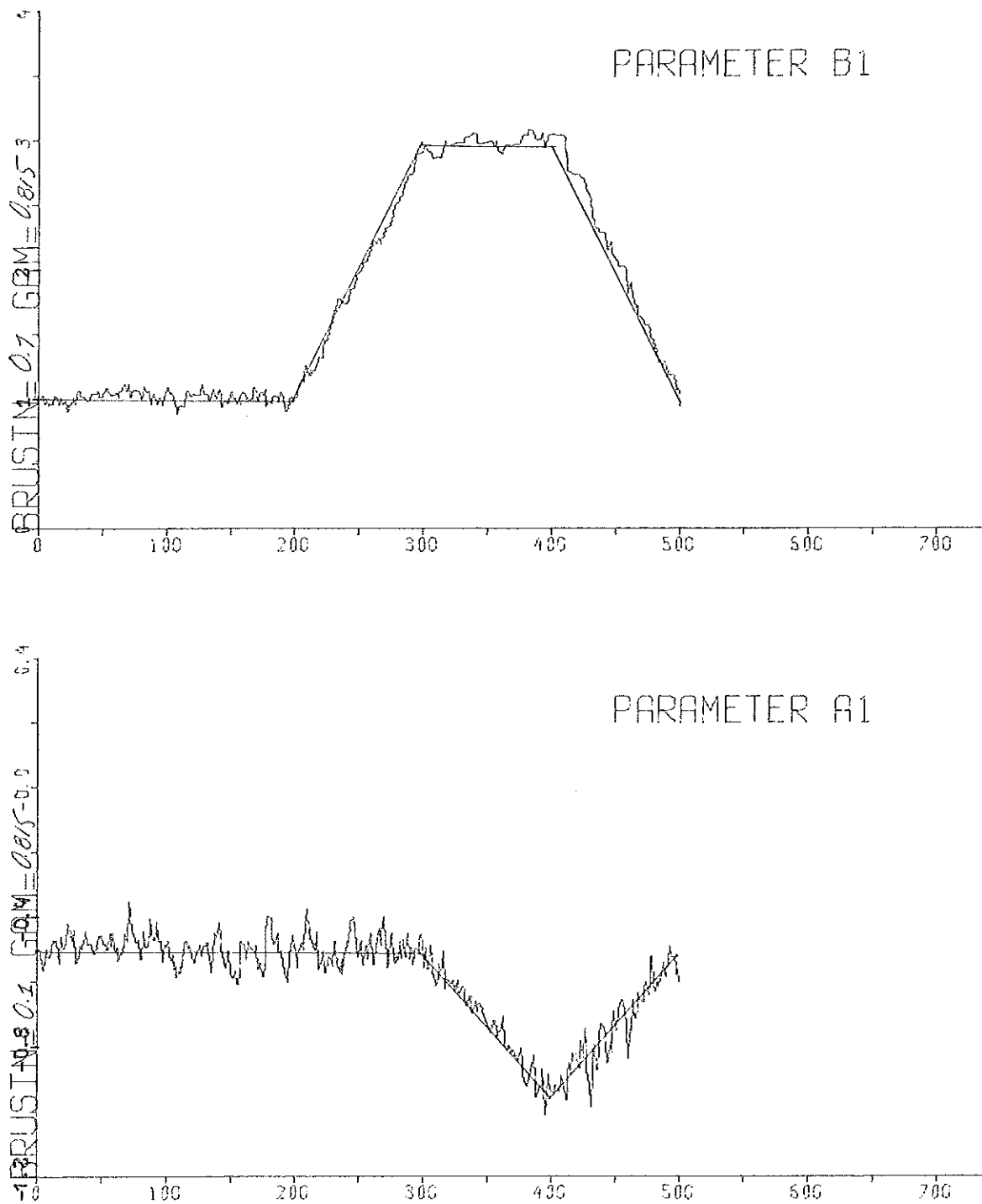


Fig. 5 Reelltidsidentifiering enligt stokastisk  
approximationsmetoden med  $k = 0.1$

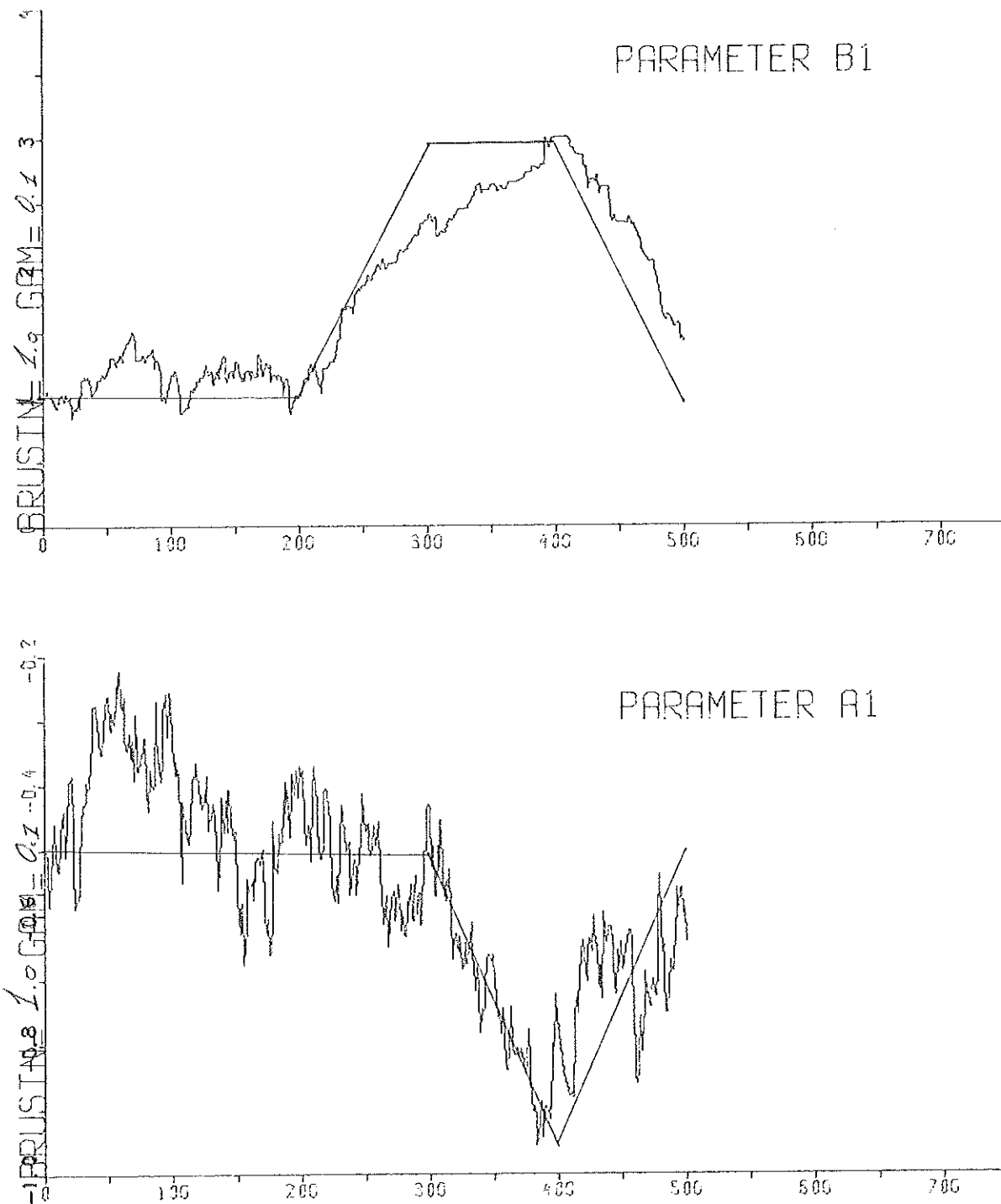


Fig. 6 Reelltidsidentifiering enligt stokastisk  
approximationsmetoden med  $k = 1.0$

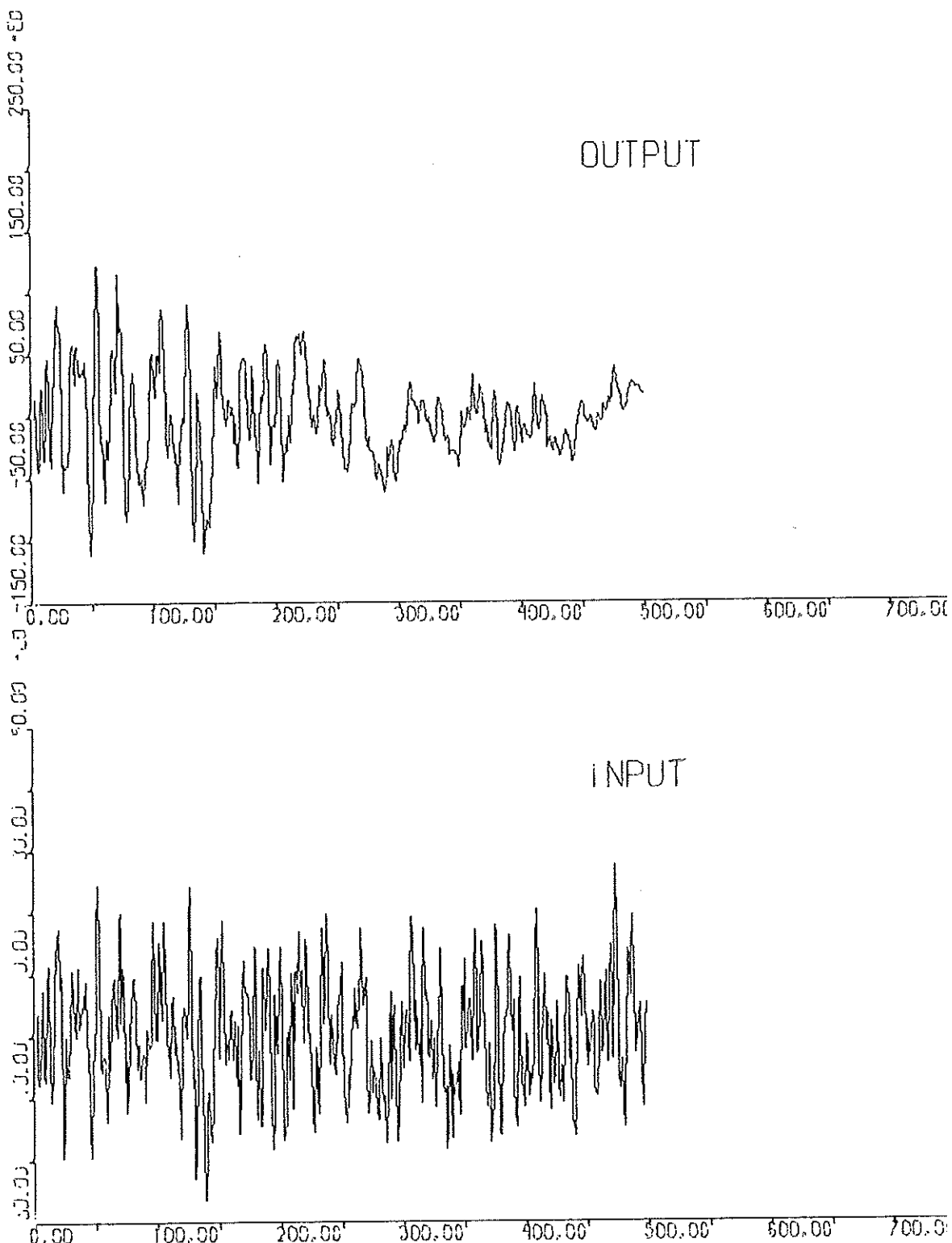


Fig. 7 In - och utsignaler från exempel 2

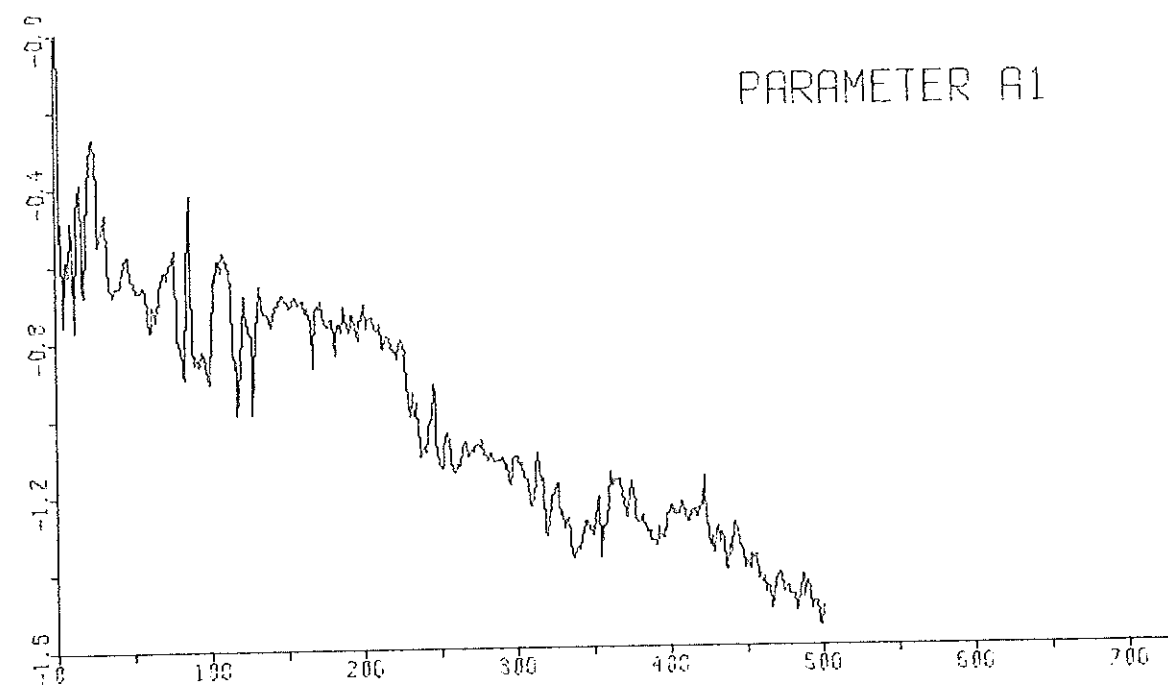
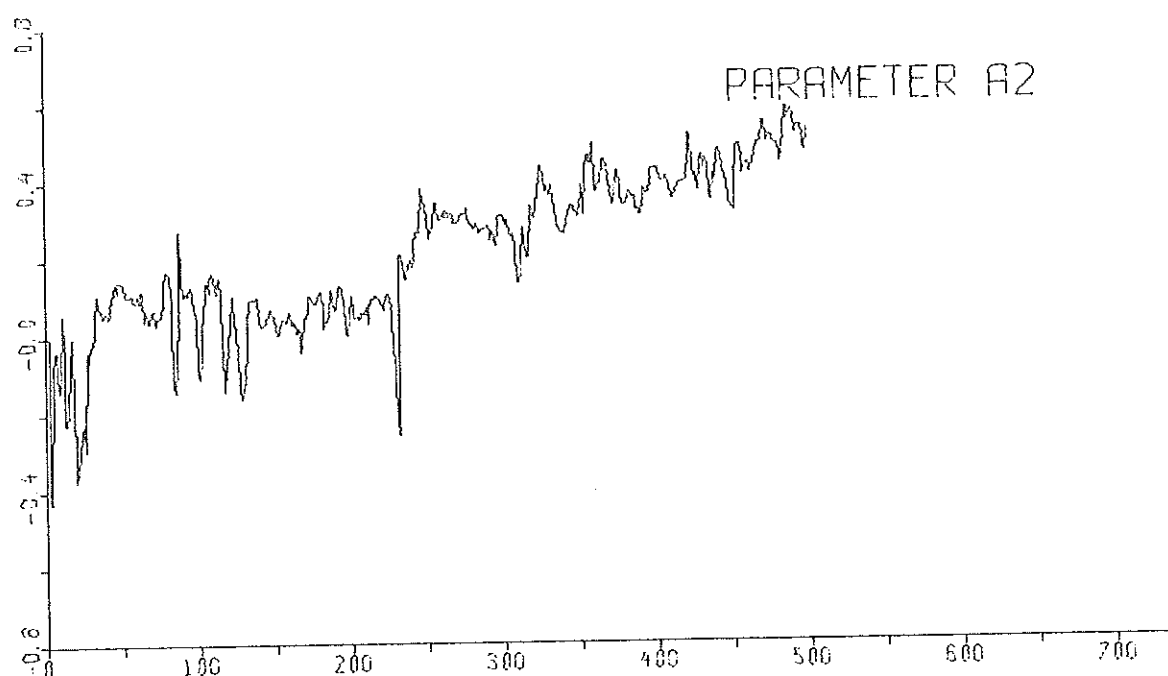


Fig. 8 Identifiering av systemet i eksempl 2 enligt  
stokastisk approximationsmetoden med GAMZ = 0.5

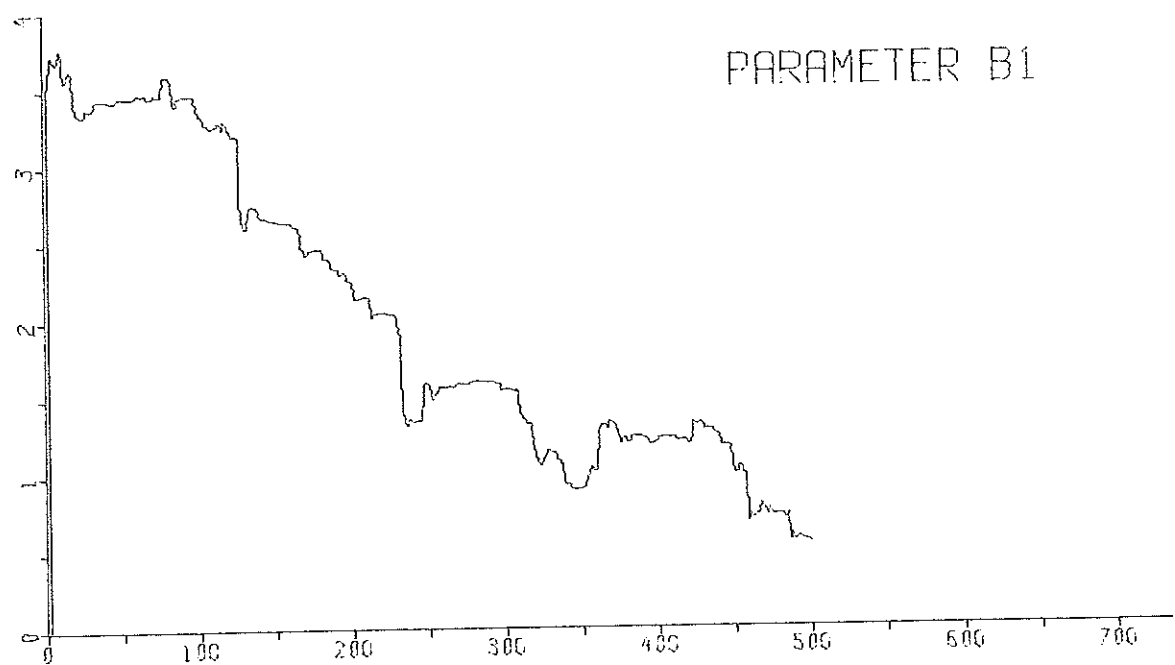
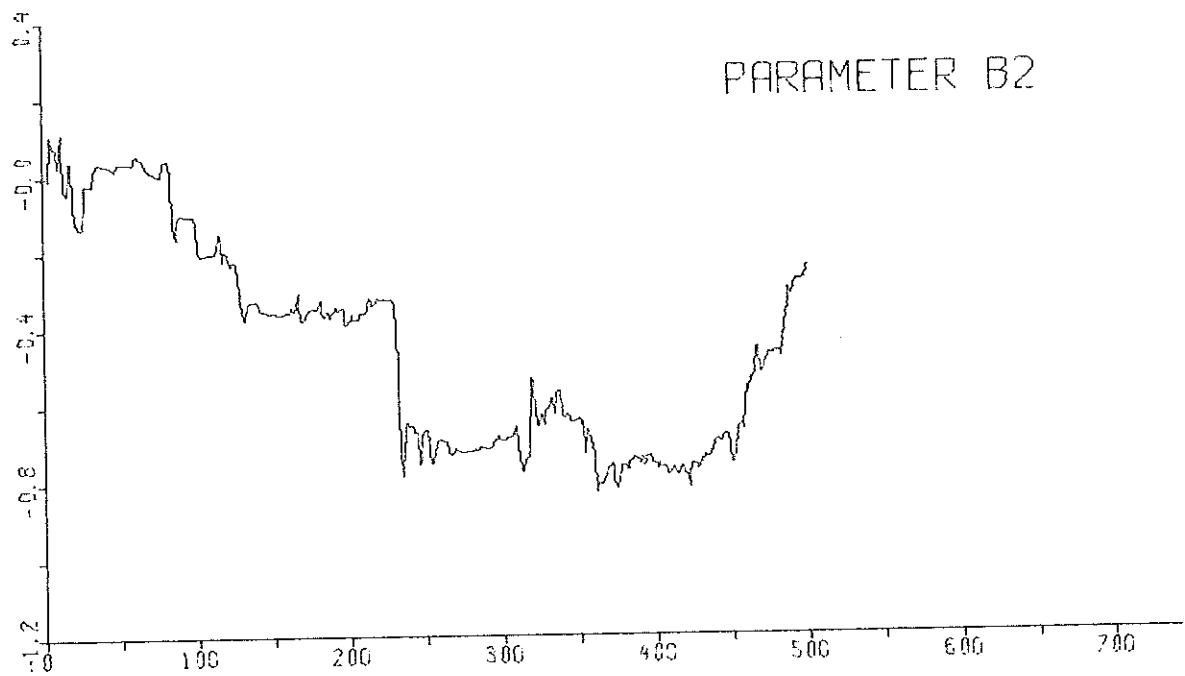


Fig. 9 Identifiering av systemet i exempel 2 enligt  
stokastisk approximationsmetoden med GAMZ = 0.5

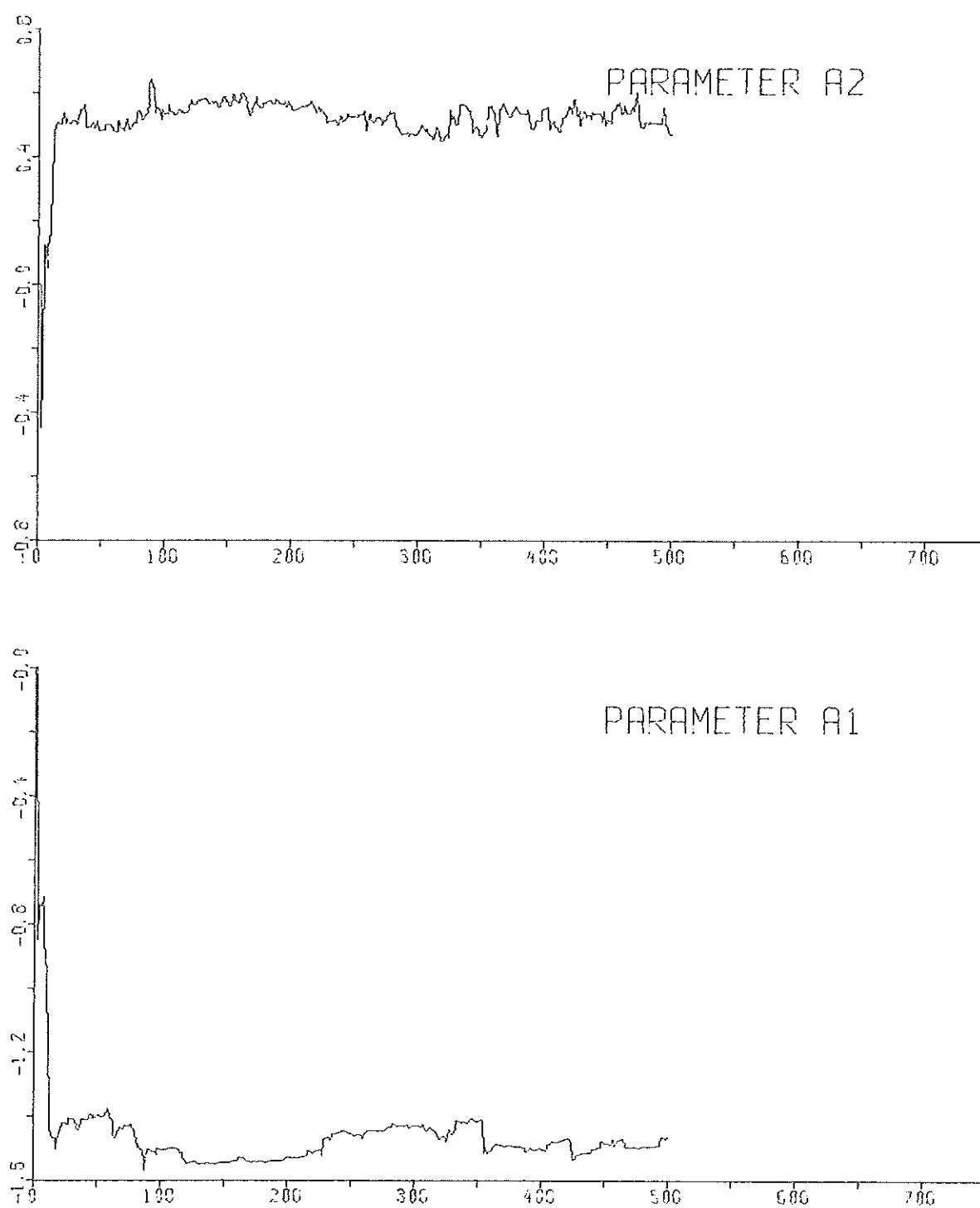


Fig. 10 Identifiering av systemet i exempel 2 användande  
Kalmanestimering. R1-matrisen ges av (5.1)

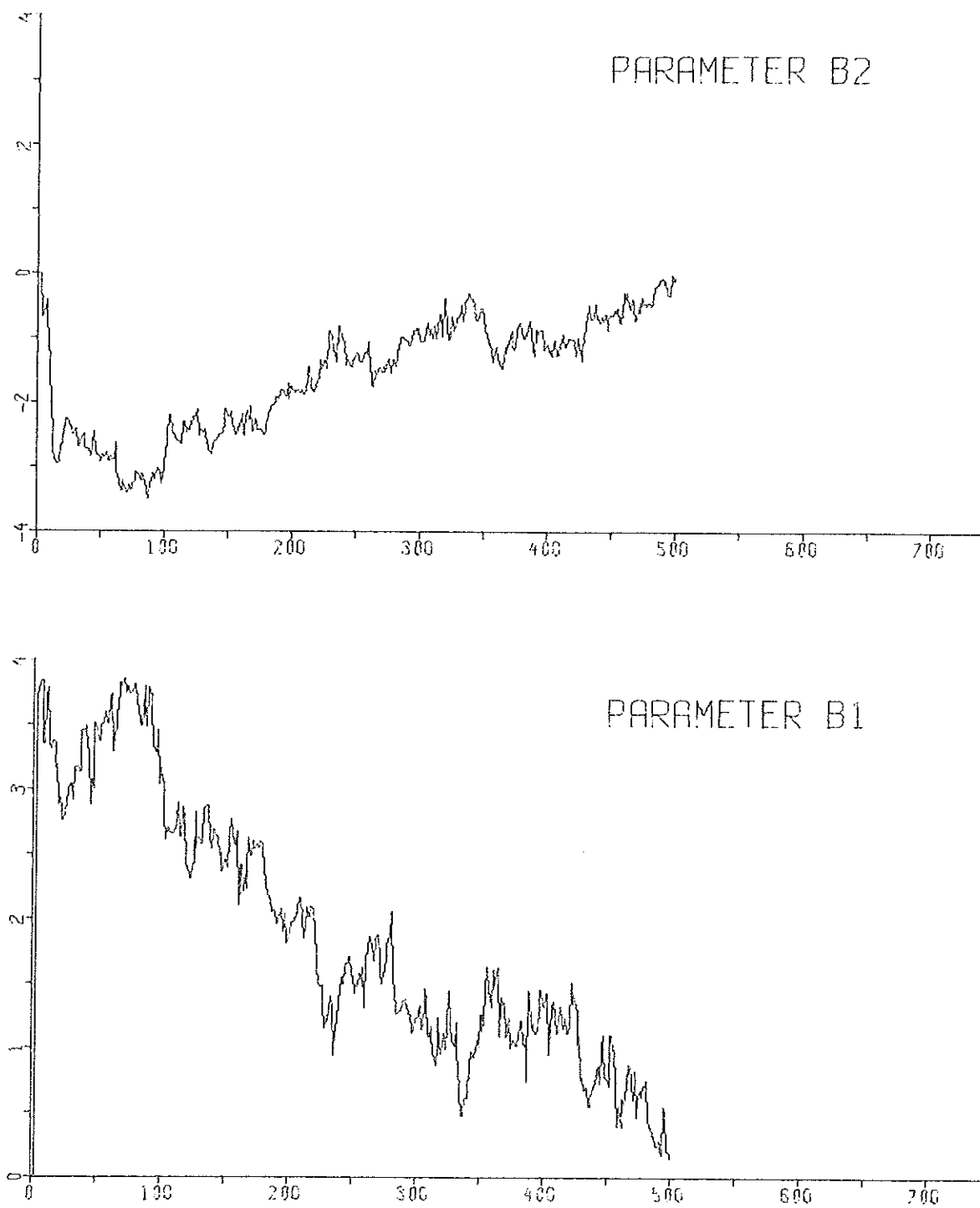


Fig. 11 Identifiering av systemet i exempel 2 användande  
Kalmanestimering. R1-matrisen ges av (5.1)

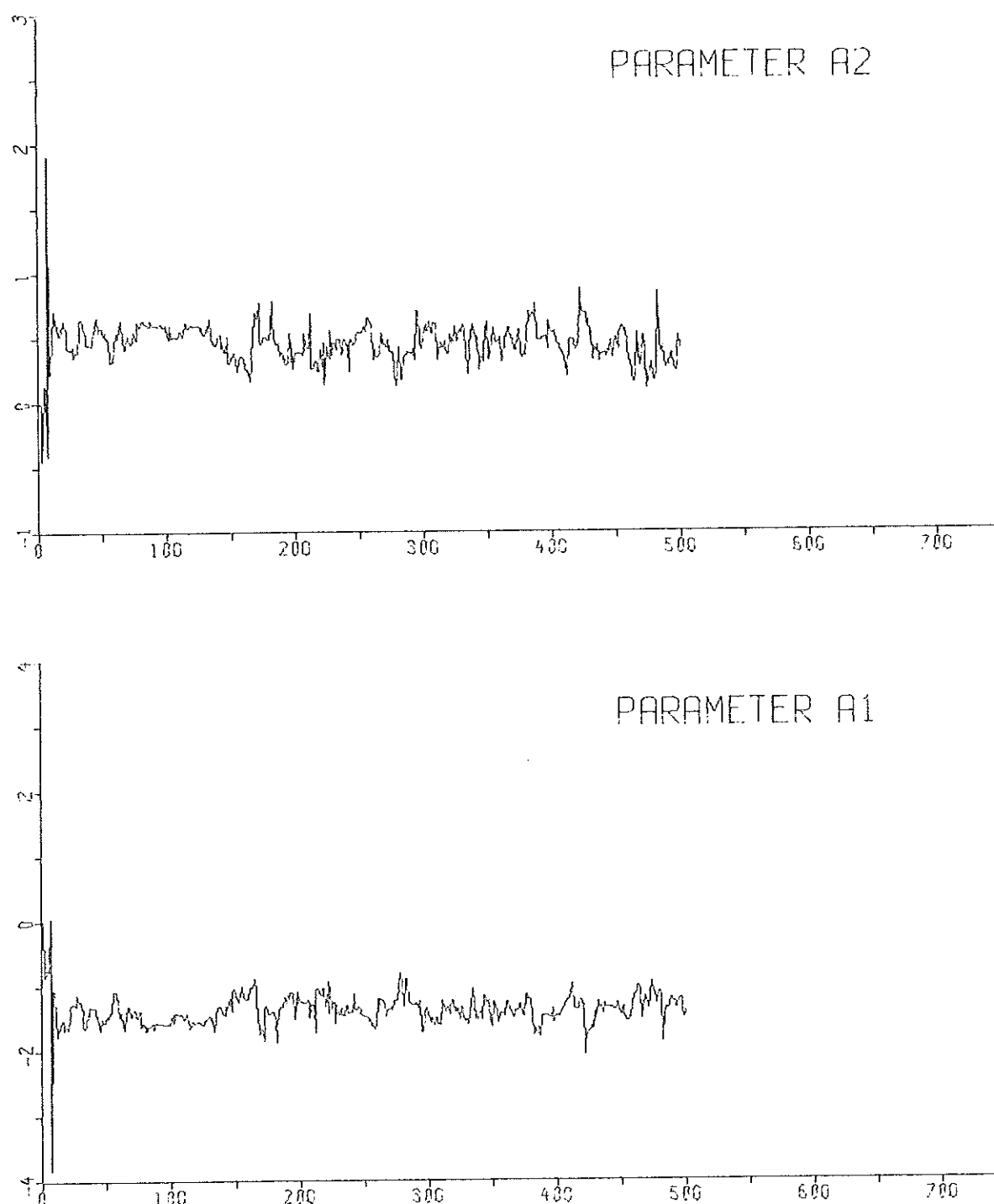


Fig. 12 Reelltidsidentifiering enligt minsta-kvadrat  
metoden av systemet i exempel 2 med  $\lambda = 0.795$

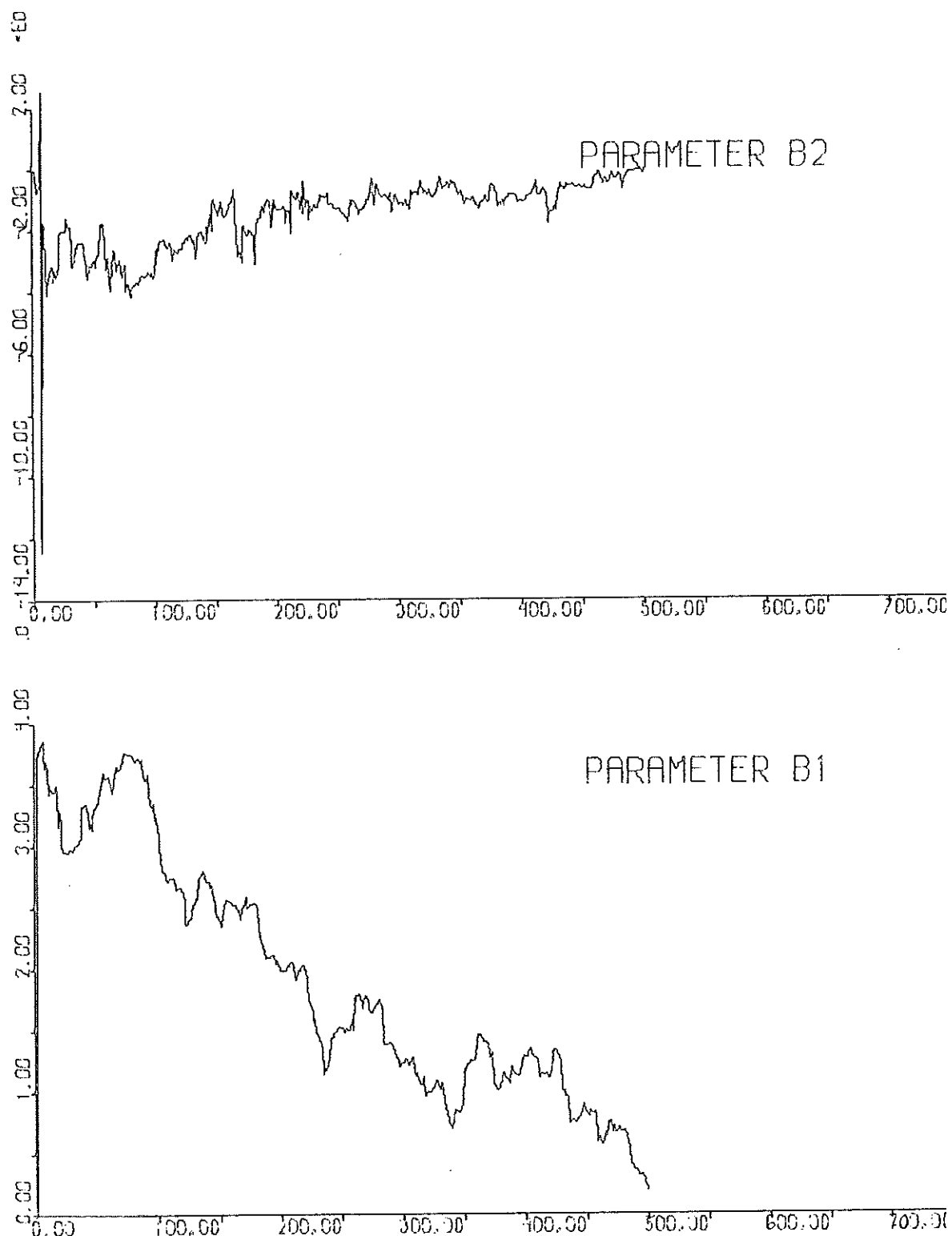


Fig. 13 Reelltidsidentifiering enligt minsta-kvadrat  
metoden av systemet i exempel 2 med  $\lambda = 0.795$

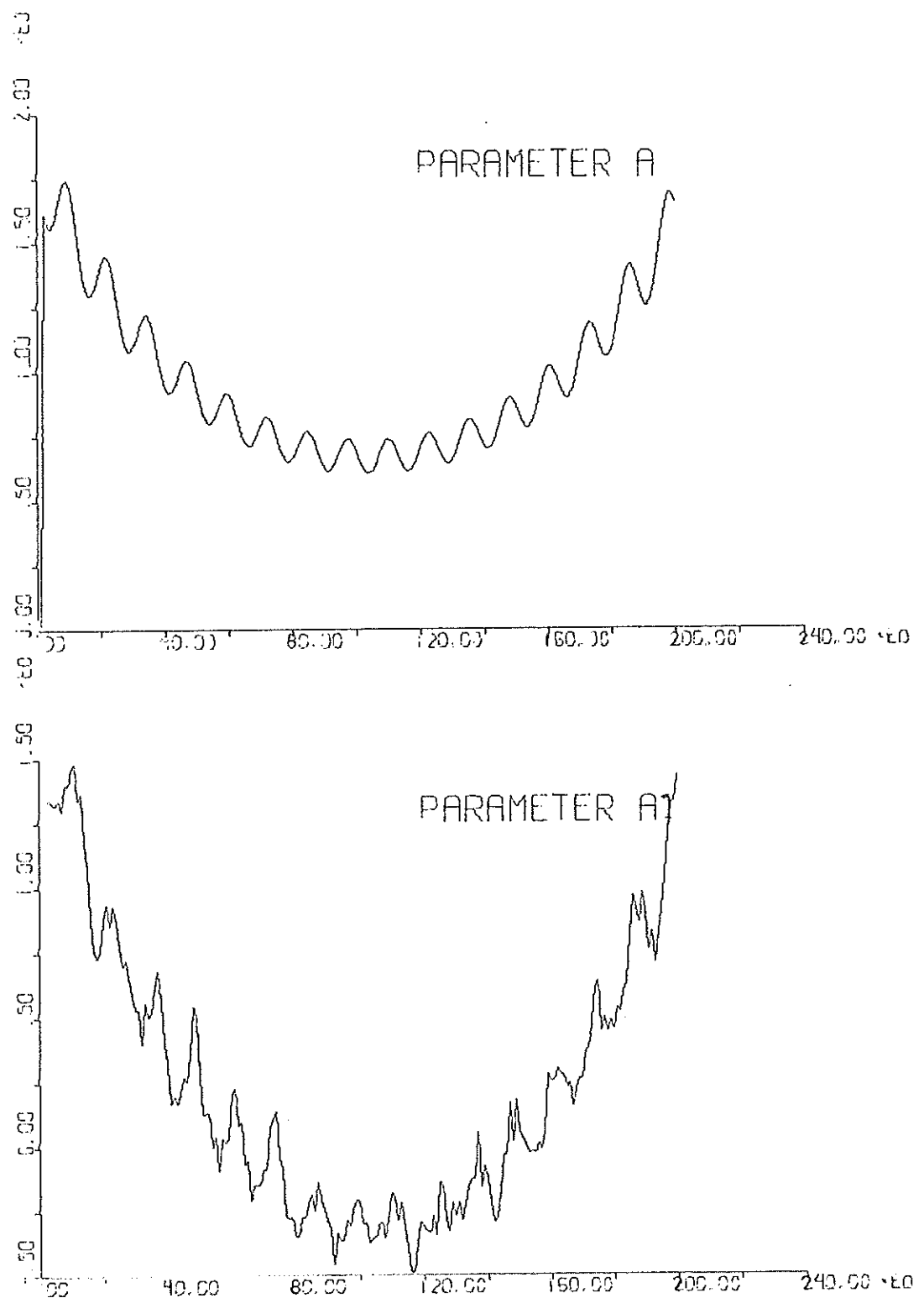


Fig. 14 Skattningen (underst) och det verkliga värdet  
(överst) av parametern  $a$  i exempel 3.  
R1-matrisen ges av (5.2)

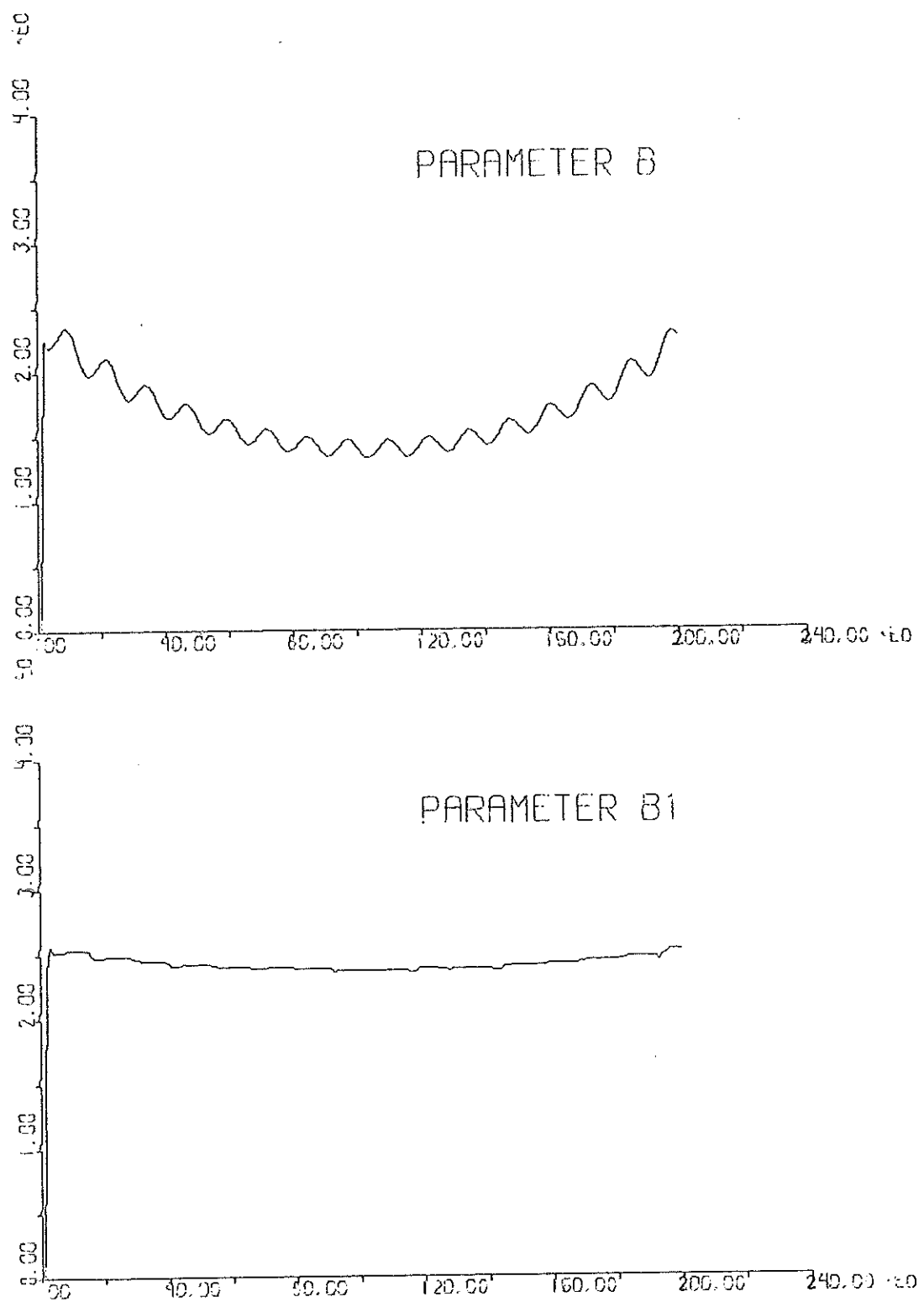


Fig. 15 Skattningen (underst) och det verkliga värdet  
(överst) av parametern b i exempel 3.  
R1-matrisen ges av (5.2)

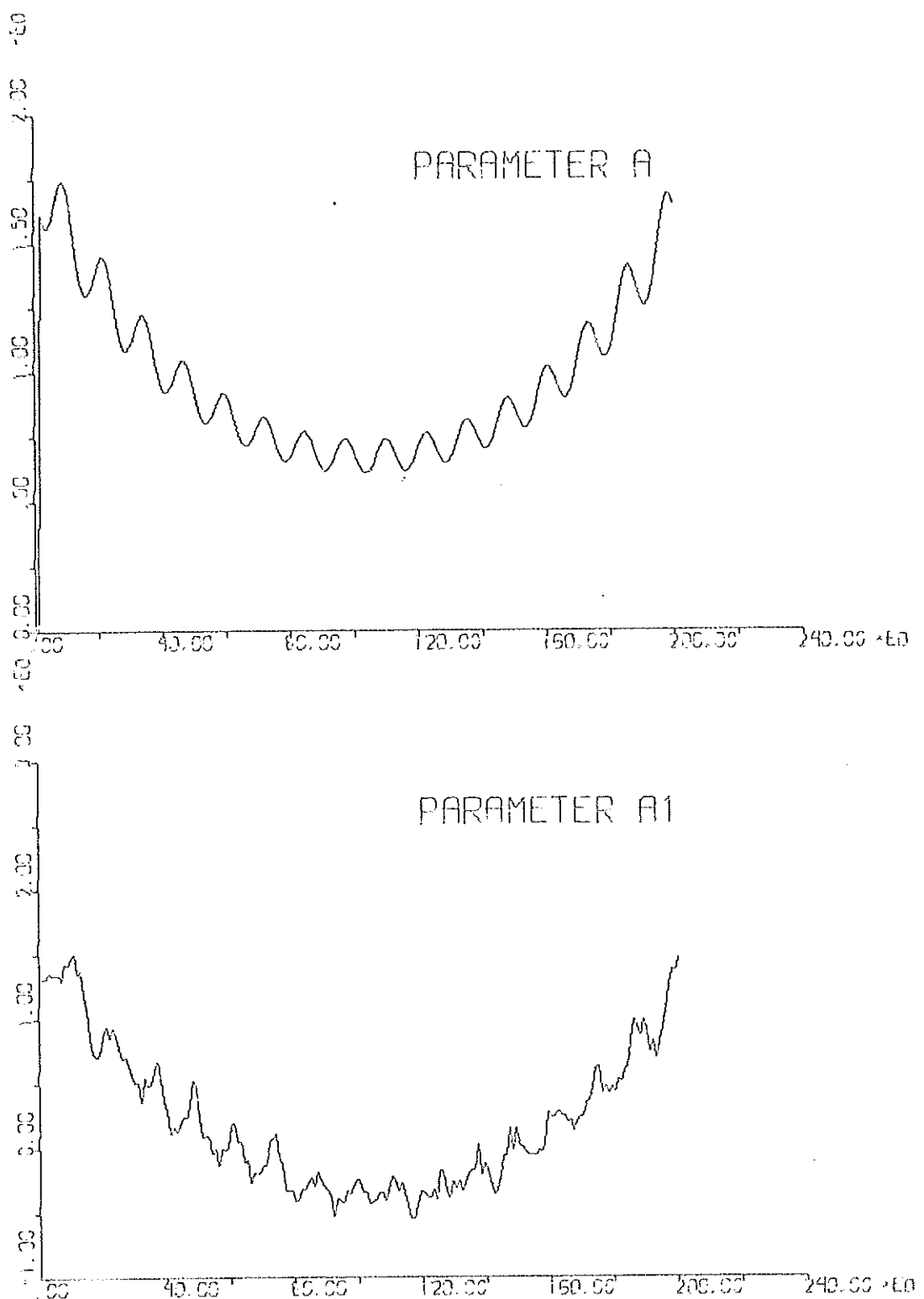


Fig. 16 Skattningen (underst) och det verkliga värdet  
(överst) av parametern a i exempel 3.  
R1-matrisen ges av (5.3)

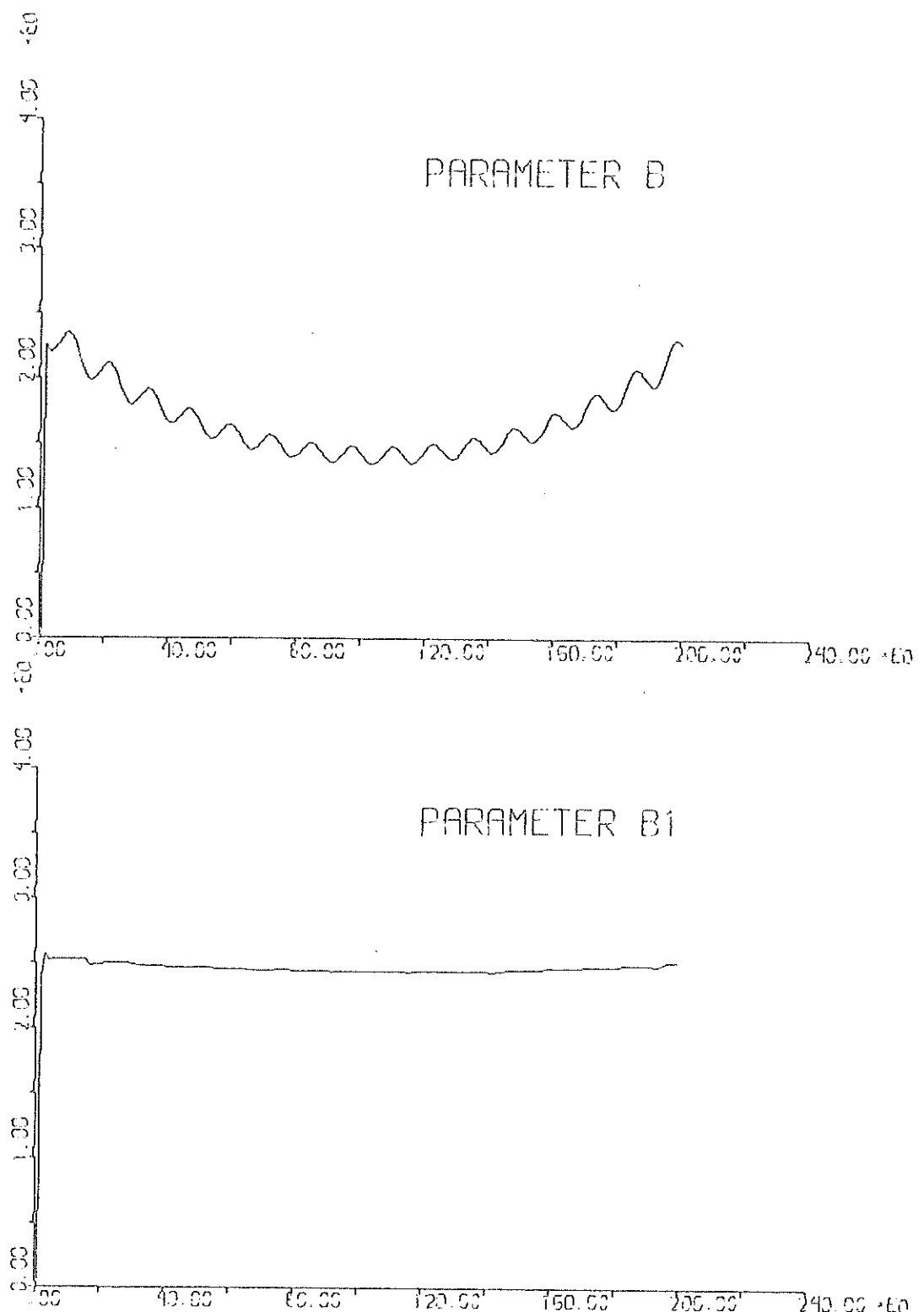
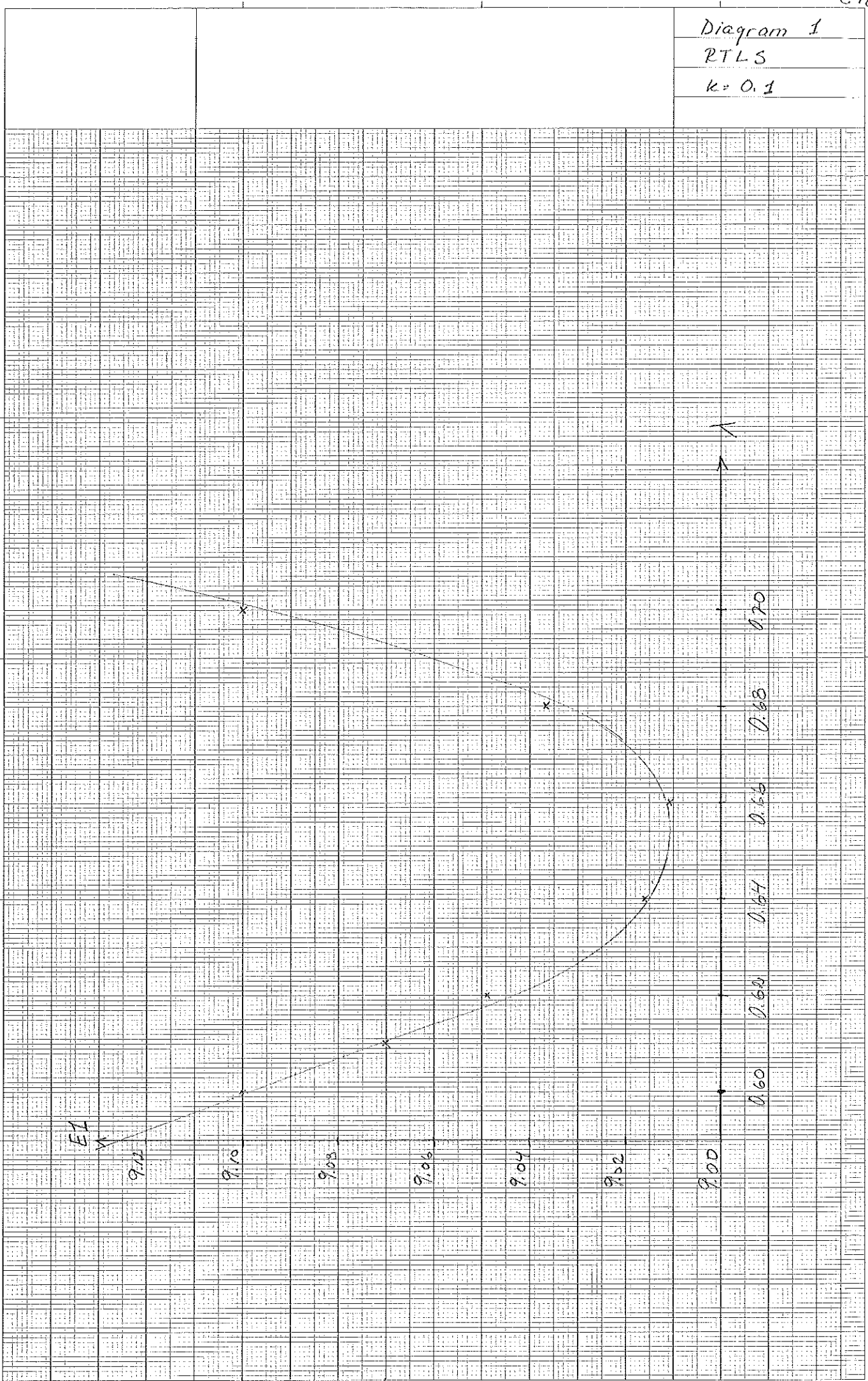


Fig. 17 Skattningen (underst) och det verkliga värdet  
(överst) av parametern b i exempel 3.  
R1-matrisen ges av (5.3)

Diagram 1

RTL S

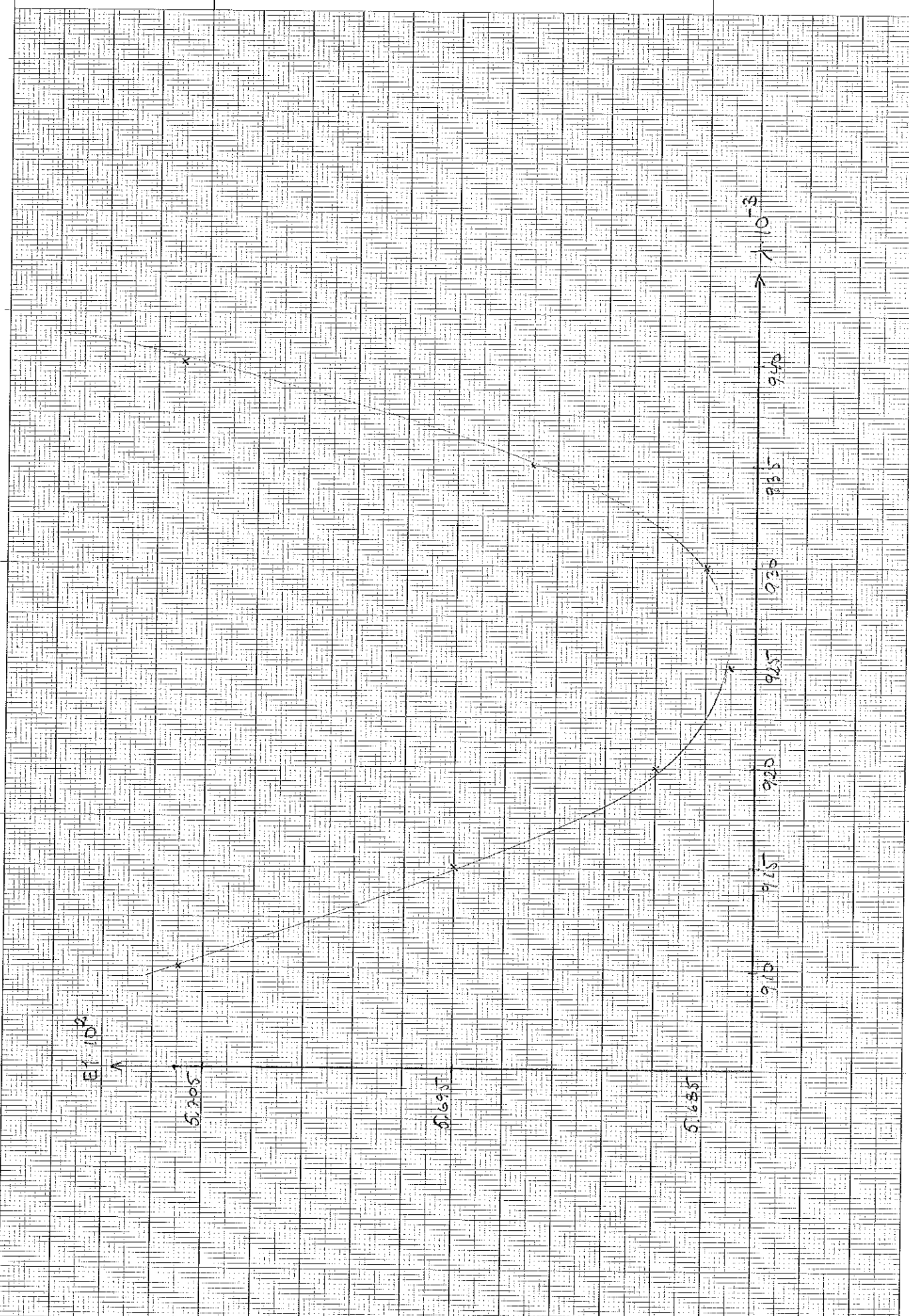
k = 0, 1

514 A4  
SIS 73 25 01(VULLEBERG  
KLIPPER)

Nr 1624

Diagram 2

RTLS

 $k = 1.0$ 514 A4  
SIS 73 25 01(TULLBERG  
KRSB  
KLIPPAN)

Nr 1624

Diagram 3

KALID

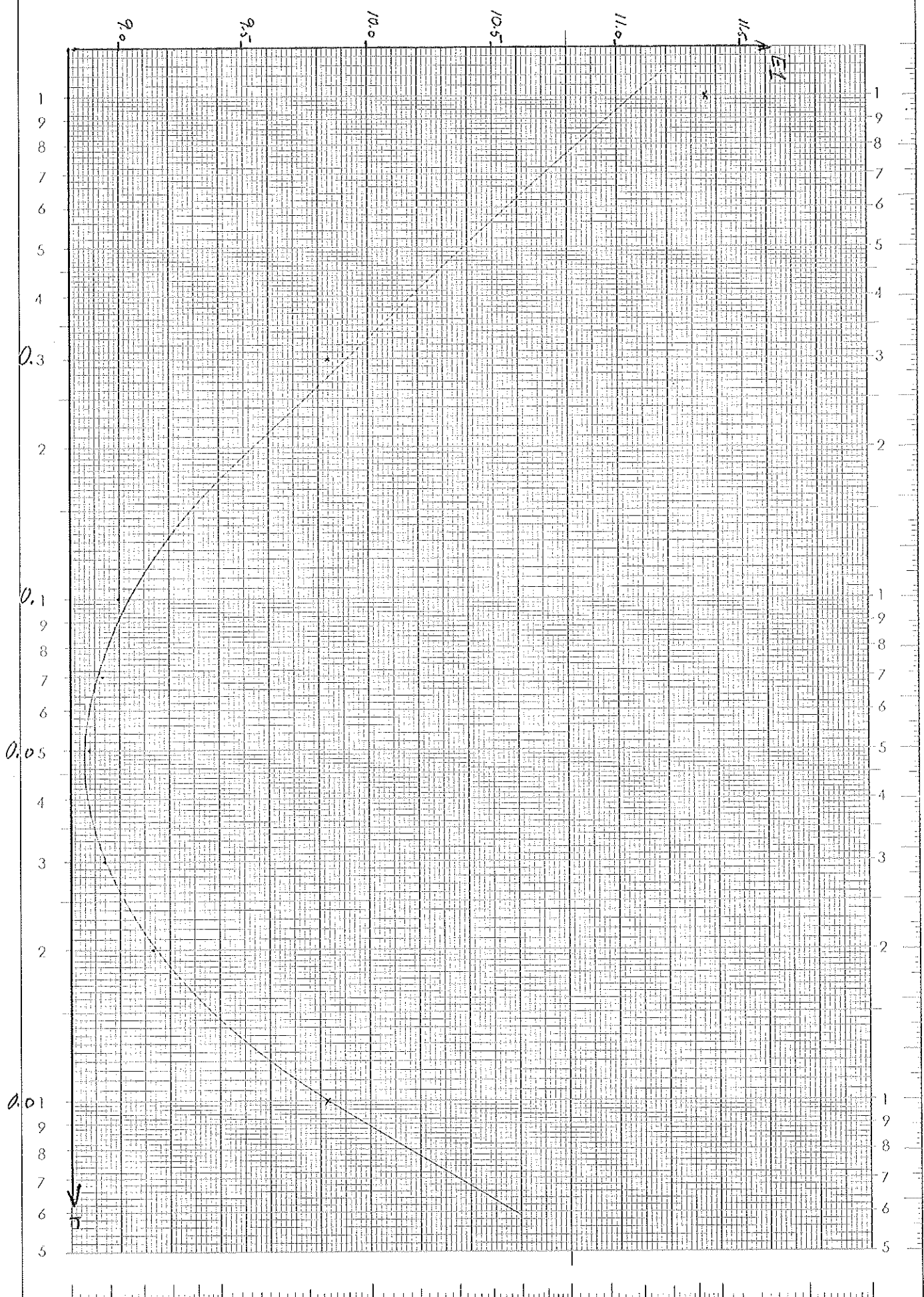
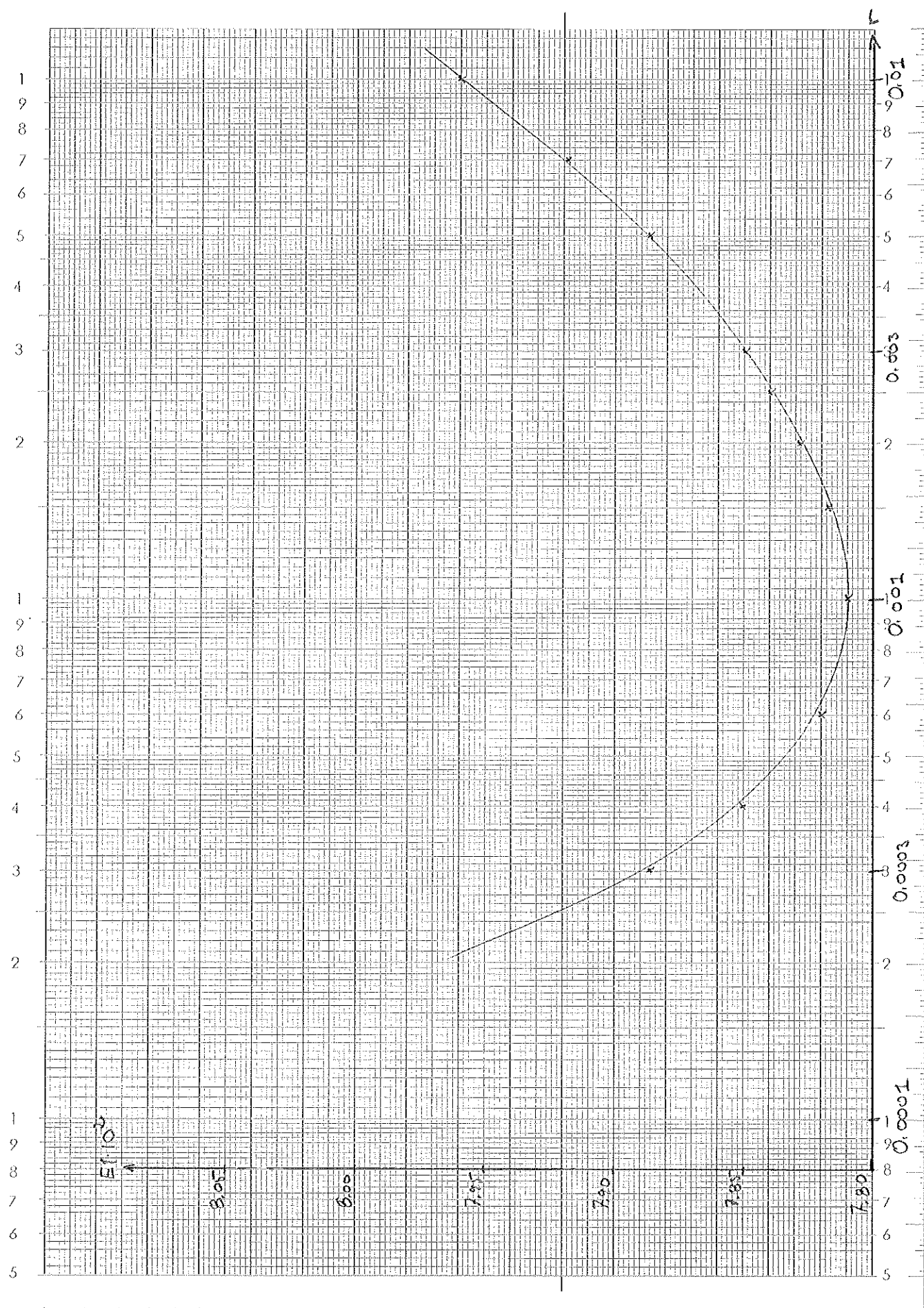
 $k = 0.1$ 

Diagram 4

KALIA

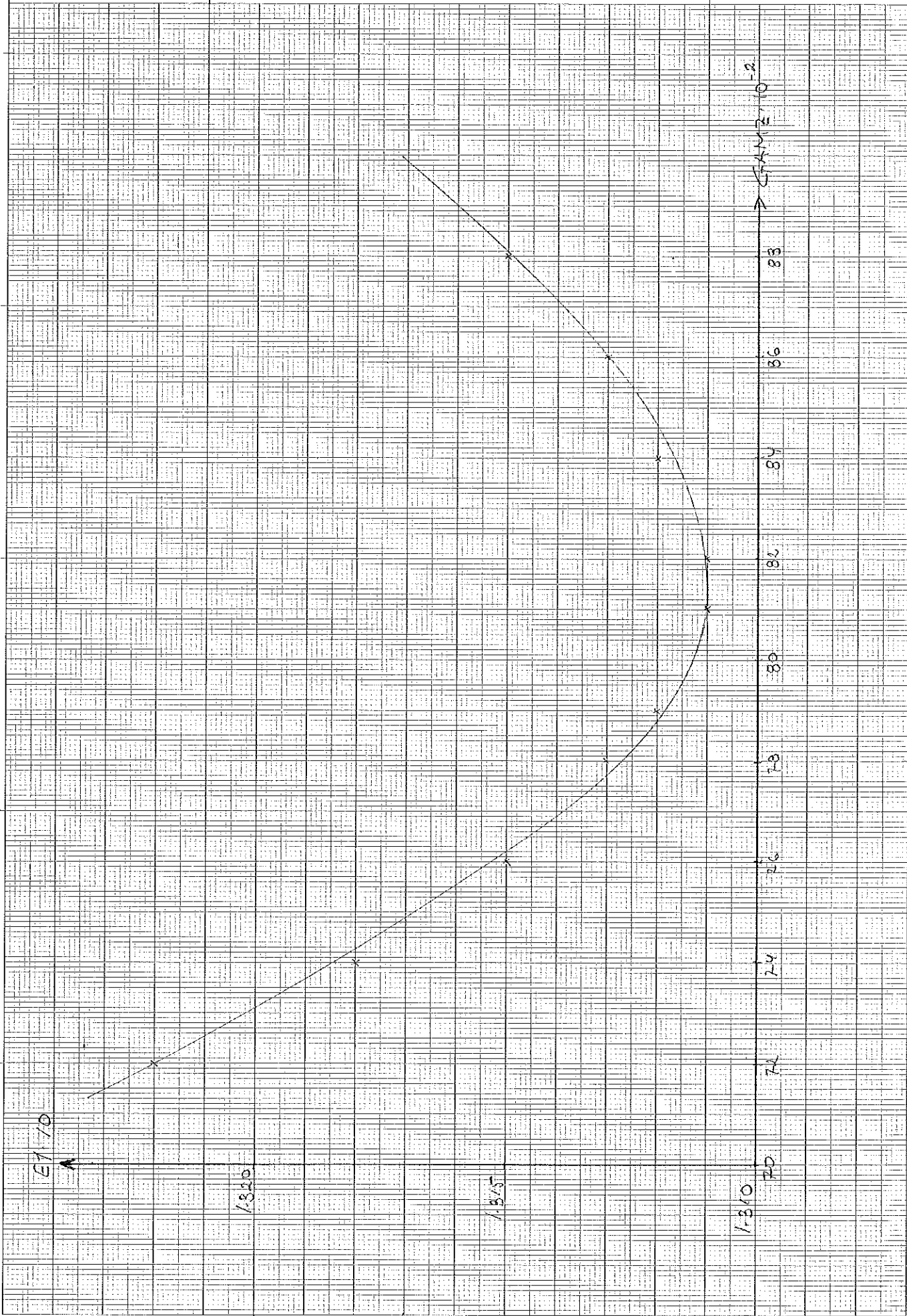
 $K = 1.0$ 

C22

### Diagram 5

STAPP

$$k = 0.1$$



514 A4  
SIS 732501

TULLBERG  
KÄRAME

Nr 1624

Diagram 6

STAPP

 $\kappa = 10$ 